

♂ : noir; pièces buccales, palpes, face, joues, propectus, pattes I et II, macules sur les pleures; hanches (sauf parfois une petite tache à l'extrême base), trochanters, trochantelles et fémurs (excepté l'apex de ceux-ci) des pattes III, bords membraneux latéraux du tergite I et sternites basilaires, rouge testacé; tegulae ~~sombres~~; ailes hyalines faiblement enfumées dans la moitié distale, nervures et stigma bruns; antennes sans anneau blanchâtre; certaines parties telles l'occiput et le métanotum présentent une tendance au rougeâtre.

♂ : antennes 1,5 fois plus longues que le corps; articles du flagellum un peu comprimés, fortement striés, le 1<sup>er</sup>, 2,66 fois plus long que large (16 : 6), articles préapicaux 3 fois; ponctuation du mésonotum légèrement plus forte; tergite I un peu plus long et plus étroit à l'apex (28 : 7), plus rugueux et mat sur toute sa longueur, plus étroitement excavé à la base; largeur apicale du tergite II plus courte, mais longueur médiane un peu plus longue (23 : 8), sillons latéraux, par suite, moins divergents et droits; tergite III, 1,5 fois plus long que le II.

Tous les autres caractères étant ceux de l'espèce.

DISTRIBUTION GÉOGRAPHIQUE: Mayumbu, volcan Nyamuragira (alt. 2.100 m., 14-26.VI.1935), holotype ♀; Nyasheke, volcan Nyamuragira (alt. 1.820 m., 14-26.VI.1935), allotype ♂ et paratypes; Shamuheru, volcan Nyamuragira (alt. 1.843 m., 14-26.VI.1935); 9 exemplaires : 8 ♂♂, 1 ♀.

#### Sous-groupe spécifique BUMBANA.

Premier tergite abdominal divisé à la base par un sillon longitudinal médian qui se divise avant la moitié apicale en deux branches latérales à obliquité antéro-postérieure, les deux parties basilaires du tergite plus ou moins développées latéralement en lobes et inclinées vers l'axe; 2<sup>e</sup> tergite plus court que la largeur apicale du 1<sup>er</sup> et que la longueur médiane du 3<sup>e</sup>, marqué de sillons latéraux divergents; ponctuation du mésonotum généralement bien séparée, plus petite ou presque absente à la base, pouvant être accompagnée d'une petite aciculation intervallaire; disque du scutellum à faible convexité, peu ponctué et non rebordé à l'apex; propodeum orné d'une carène longitudinale médiane; valves de la tarière longues, non pourvues d'un appendice préapical.

#### [IV. — *Microgaster bumbana* DE SAEGER.]

*Microgaster bumbana* DE SAEGER, Rev. Zool. Bot. afr., XXXV, 1942, p. 332. ♀.

DISTRIBUTION GÉOGRAPHIQUE : Congo Belge, Bumba (Congo Ubangi); Bambesa (Uelé). *Hôte* et *cocon*, inconnus.

13. — **Microgaster pteroloba** sp. n.

(Fig. 23-25.)

♂ ♀ : noirs; parties buccales (parfois très sombres), palpes, scapes et pédicelles (sauf la face externe, parfois très sombres chez le ♂), pattes I et II, fémurs III (excepté l'apex généralement un peu assombri, fortement chez le ♂), bords latéraux membraneux du tergite abdominal I, partie inférieure de l'abdomen y compris l'hypopygium, rouge testacé; hanches III, rouge testacé assez foncé, excepté l'extrême base; tegulae, brun sombre; tibias et tarses III, brun rougeâtre; ailes faiblement enfumées entièrement; nervures brunes.

♂ ♀. *Tête* : face brillante, aciculée et petitement ponctuée d'aspect assez rugueux, faiblement carénée longitudinalement au milieu; clypéus assez bien différencié; ostioles faciales à égale distance des yeux et de l'apex du clypéus; vertex et occiput petitement ponctués; tempes et joues plus fortement et plus densément; espace oculo-ocellaire un peu plus grand que la distance séparant les ocelles postérieurs; 1<sup>er</sup> article du flagellum 2,5 fois plus long que large, articles apicaux plus longs et plus effilés chez le ♂.

*Thorax* : mésonotum assez régulièrement ponctué (degré 3 et 4), les pointillés séparés par environ leur propre diamètre, petitement aciculé dans les intervalles, excepté à l'apex où le mésonotum est plus brillant; lignes des notaulices très faiblement déprimées; sillon préscutellaire droit, large, fortement crénelé; disque du scutellum brillant, ponctué à peu près comme l'apex du mésonotum (en général plus finement chez le ♂), à faible convexité et apex aigu; partie lisse des axillae étroite, faiblement carénée antérieurement; mésopleures lisses et brillants, densément ponctués seulement dans l'angle huméral, cochléar marqué d'une fossette médiane; métapleures lisses et brillants; propodeum brillant, traversé par une très forte carène longitudinale médiane portant de part et d'autre des carènes transversales secondaires plus longues apicalement, où elles rejoignent parfois des carènes secondaires, ailleurs lisse, rugueux autour des stigmates.

*Ailes* (fig. 23) : 1<sup>re</sup> abscisse de la radiale un peu plus longue que la largeur du stigma, légèrement incurvée et formant un angle presque droit avec la 1<sup>re</sup> transverso-cubitale; celle-ci est droite et reçoit la 2<sup>e</sup> transverso-cubitale un peu au delà du milieu; partie apicale de la 1<sup>re</sup> abscisse de la cubitale courte, environ de même longueur que la 2<sup>e</sup> transverso-cubitale et beaucoup plus courte que la récurrente; stigma plus court que le métacarpe.

*Pattes III* : hanches petitement et éparsement ponctuées sur la face supérieure, plus densément à la base, très finement ponctuées presque lisses sur la face externe. Proportions : hanches, 22/38; fémurs, 17/50; tibias, 11/60; tarses : I, 24; II, 11; III, 9; IV, 6; V, 8; le plus long éperon des tibias 3/5 et le plus court un peu moins de 2/5 de la longueur des métatarses.

*Abdomen* (fig. 24) : tergite I divisé à la base par un profond sillon médian plus ou moins lisse, se divisant avant la moitié en deux sillons divergents, moins bien marqués, plus ou moins crénelés; la base du tergite est ainsi divisée en deux lobes latéraux, développés latéralement et fortement inclinés vers le sillon médian (en coupe les deux plans forment presque un angle droit), ces lobes sont brillants et lisses sauf sur les bords externes un peu rugueux, tandis que la partie apicale du tergite, qui est fortement repliée à la moitié de sa longueur, est brillante, rugueuse avec quelques pointillés; apex tronqué, précédé d'une petite aire triangulaire lisse occu-

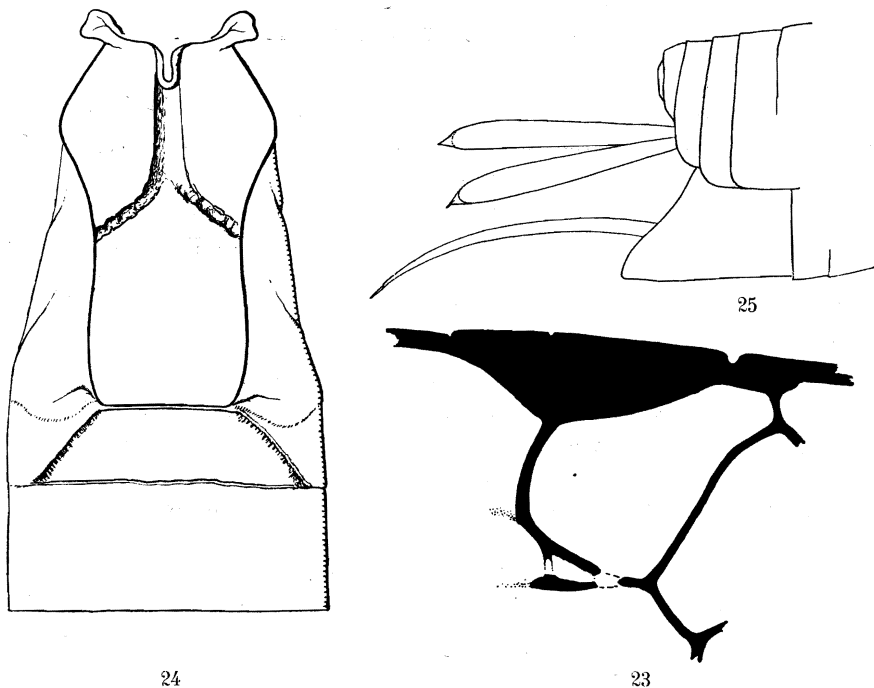


FIG. 23-25. — *Microgaster pteroloba* sp. n.  
 FIG. 23 — Détail de la nervation des ailes antérieures.  
 FIG. 24. — Détail des trois premiers tergites abdominaux.  
 FIG. 25. — Apex de l'abdomen.

pant toute sa largeur; longueur médiane du tergite I environ 2,8 fois sa largeur apicale qui est égale à la largeur basale, et 1,72 fois sa plus grande largeur située au  $\frac{1}{4}$  basal; tergite II brillant, marqué d'une petite rugosité faible et superficielle et portant quelques petits pointillés sétigères dans la moitié apicale, sillons latéraux peu marqués, droits ou légèrement courbés, sa longueur médiane 1,57 fois plus petite que la largeur apicale du I et environ le  $\frac{1}{3}$  de sa propre largeur apicale; 2<sup>e</sup> suture droite, faiblement mais distinctement marquée; tergite III, 1,57 fois plus long que le II, bril-

lant et portant quelques soies éparses, absentes près du bord basal et sur une aire triangulaire médiane; hypopygium grand, à apex aigu; valves de la tarière longues, un peu élargies vers l'apex, égales à la longueur des deux articles basilaires des tarsi III et sans appendice (fig. 25).

Longueur : 3 mm.

DISTRIBUTION GÉOGRAPHIQUE : Rutshuru (alt. 1.285 m., 7.VI.1935), holotype ♀, allotype ♂, 1 paratype; escarpement de Kabasha (alt. 1.500 m., 12.XII.1934); Rwindi (alt. 1.000 m., 20-24.XI.1934); Nyongera, près de Rutshuru, Butumba (alt. 1.218 m., 18.VII.1935); 9 exemplaires : 5 ♂♂, 4 ♀♀.

AFFINITÉS : Cette espèce se place, dans la clef de WILKINSON, avec l'espèce malaise *M. psarae* WILKN., dont elle se sépare au premier abord par la coloration noire du 1<sup>er</sup> tergite abdominal, la forme de ce tergite ainsi que de nombreux autres caractères. Elle ne peut non plus être confondue avec *M. vacillatrix* WILKN. espèce éthiopienne qui se classe en même temps que *M. psarae* dans cette clef. Elle ne s'introduit pas dans la clef de FAHRINGER des espèces paléarctiques. Elle montre, notamment par la structure du 1<sup>er</sup> tergite, une grande affinité avec *M. bumbana* DE S., dont elle s'éloigne, cependant, par la coloration générale.

#### Sous-groupe spécifique KIVUANA.

Premier tergite abdominal au moins deux fois plus long que large à l'apex, celui-ci parfois plus large ou plus étroit que la base, mais jamais fortement, ses bords latéraux à peu près parallèles, divisé par un sillon longitudinal médian sur presque toute sa longueur, sa sculpture est localisée dans le tiers ou le quart apical où il est proéminent; 2<sup>e</sup> tergite marqué de deux sillons discaux parallèles ou convergents bordant une aire médiane et de deux sillons basilaires courts et divergents; 2<sup>e</sup> suture généralement plus ou moins sinuée, bien marquée; mésonotum et disque du scutellum à forte ponctuation, parfois accompagnée d'une petite aciculation intervallaire, ce dernier à apex bordé; propodeum orné d'une carène longitudinale médiane; valves de la tarière courtes, pourvues ou non d'un appendice préapical.

#### 14. — *Microgaster kivuana* sp. n.

(Fig. 26-27.)

♀ : noire; pattes I et II à l'exception des hanches I qui sont brunâtres presque entièrement, extrême base des hanches, trochanters, trochantelles, extrême base des fémurs, 3/5 basilaires des tibias, et extrême base des métatarses des pattes III, tergite abdominal I entièrement, bords latéraux membraneux des tergites I, II et III et le bord apical du III, sternites basilaires, jaune-rouge testacé; palpes et éperons des tibias III, jaune testacé pâle; tegulae rouge sombre à noirâtre; parties buccales rougeâtres; scapes bruns;

environ la 1/2 basale du flagellum roussâtre; stigma et nervures, bruns, excepté la médiane et l'anale dans le 1/3 basal des ailes I incolores et la basale presque entièrement faiblement colorée; aux ailes II seuls la 2<sup>e</sup> abscisse de la sous-costale et le métacarpe sont pigmentés; ailes enfumées, aux I enfumure peu intense comprenant l'apex de l'aile et une fascie sous le stigma qui s'élargit dans la moitié postérieure de l'aile, aux ailes II enfumure plus mal définie, mais plus localisée vers le bord antérieur au 1/3 distal (fig. 26).

♀. *Tête* : face brillante, densément ponctuée (degré 5) partagée par une ligne longitudinale médiane lisse et brillante; clypéus non différencié de la face; ostioles faciales plus près de l'apex du clypéus que des yeux; vertex et occiput brillants, moins densément ponctués que la face (degré 4), tempes plus finement ponctuées; stemmaticum lisse; espace oculo-ocellaire égal à la distance séparant les ocelles postérieurs; 1<sup>er</sup> article du flagellum 5 fois plus long que large (15 : 3), les cinq articles préapicaux très amincis, au moins 3 fois plus longs que larges.

*Thorax* : mésonotum à ponctuation dense et régulière (degré 5); sillon préscutellaire droit, divisé par quelques fortes carènes; disque du scutellum à ponctuation semblable, mais un peu plus espacée que sur le mésonotum, à apex bordé; mésopleures fortement ponctués sauf une grande aire médiane lisse; partie antérieure des métapleures étroite et lisse; propodeum brillant, divisé par une forte carène longitudinale médiane à bords crénelés, téguement lisse dans le 1/4 basal, irrégulièrement et peu densément ponctué ailleurs (degrés 2-5) à réticulation latérale vague sous les stigmates.

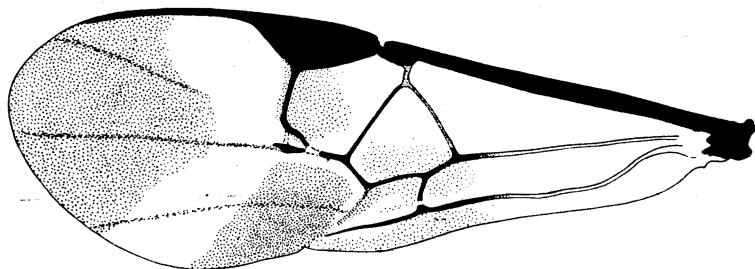


FIG. 26. — Aile antérieure de *Microgaster kivuana* sp. n. ♀.

*Ailes* (fig. 26) : 1<sup>re</sup> abscisse de la radiale presque perpendiculaire au stigma et un peu plus longue que la largeur de celui-ci; 1<sup>re</sup> transverso-cubitale égale aux 3/4 de la longueur de la 1<sup>re</sup> abscisse de la radiale sans tronçon à leur point de jonction, la 2<sup>e</sup> transverso-cubitale punctiforme, étroite et peu distincte, reçue au 1/4 apical; récurrente légèrement plus courte que la partie apicale de la 1<sup>re</sup> abscisse de la cubitale, elle-même deux fois plus longue que le sommet de la basale; le point de jonction abscisses cubitales I et II et 1<sup>re</sup> transverso-cubitale, largement fenestré; stigma un peu plus court que le métacarpe.

*Pattes III* : hanches rugueuses en dessus, avec une grosse ponctuation primaire peu dense et une ponctuation secondaire dans les intervalles sur la face externe; fémurs ponctués à peu près comme le mésonotum. Proportions : hanches, 23/35; fémurs, 13/46; tibias, 10/50; tarses : I, 26; II, 11; III, 9; IV, 7; V, 8; le plus long éperon des tibias environ  $\frac{3}{4}$  et le plus court un peu plus de la  $\frac{1}{2}$  de la longueur des métatarses.

*Abdomen* (fig. 27) : tergite 1,2 fois plus long que sa largeur apicale qui est à peine plus large que la base (23 : 11; 10), ses bords latéraux droits faiblement divergents et incurvés près de l'apex, celui-ci échancré et à angles arrondis, tégument lisse et brillant jusqu'au  $\frac{1}{3}$  apical ensuite rugu-

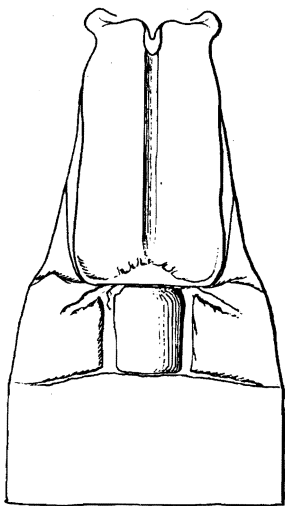


FIG. 27. — *Microgaster kivuana* sp. n. ♀.  
détail des trois premiers tergites abdominaux.

leux et ponctué, divisé de la base à l'apex par un fort sillon médian; longueur médiane du tergite II  $\frac{3}{4}$  de la largeur apicale du I et  $\frac{3}{4}$  de la longueur médiane du III (8 : 11; 11), ce tergite porte une aire médiane rectangulaire, lisse et convexe, environ  $\frac{1}{3}$  plus longue que large, délimitée par de forts sillons parallèles, à la base il est marqué de deux sillons courts et très divergents, ailleurs lisse sauf pour quelques très petits pointillés sétigères; 2° suture bien marquée, à peu près droite; tergites III et suivants ornés de l'habituelle petite ponctuation placée latéralement; apex de l'hypopygium à angle droit; valves de la tarière courtes pourvues d'un appendice préapical.

Longueur : 3 mm.; ♂, inconnu.

DISTRIBUTION GÉOGRAPHIQUE : Rwindi (alt. 1.000 m., 20-24.XI.1934), holotype ♀; 1 exemplaire.

15. — *Microgaster vulcana* sp. n.

(Fig. 28-30.)

♂ ♀ : noirs; pattes I et II, extrême apex des hanches, trochanters, trochantelles, fémurs (excepté l'apex), tibias (excepté le tiers apical) et l'extrême base des métatarses des pattes III, chez la ♀, chez le ♂, moitié basale des fémurs et moitié basale des tibias à l'exception de l'extrême base de ceux-ci, tegulae et base de la nervure basale, jaune-rouge testacé; article apical des tarsi II, apex des fémurs, tiers apical des tibias et tarsi des pattes III (chez le ♂, fémurs et tibias III ailleurs, noirs); brun rougeâtre: parties

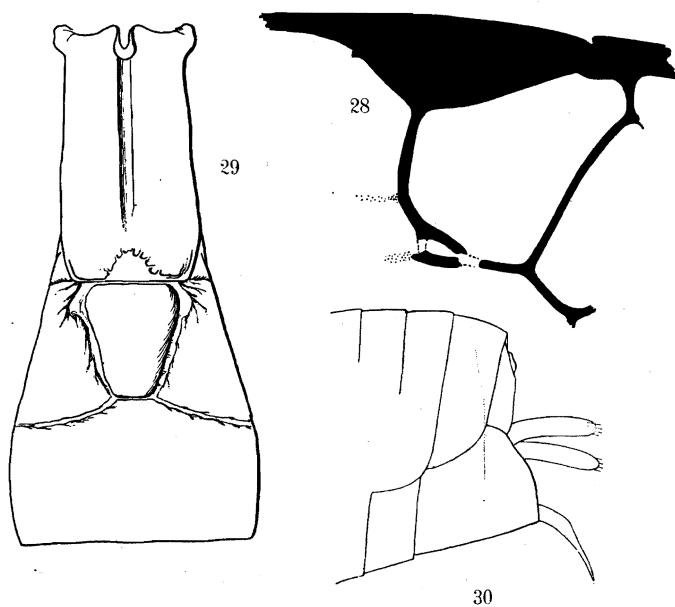
FIG. 28-30. — *Microgaster vulcana* sp. n.

FIG. 28. — Détail de la nervation de l'aile antérieure.

FIG. 29. — Détail des trois premiers tergites abdominaux.

FIG. 30. — Apex de l'abdomen.

buccales rougeâtres; palpes et éperons des tibias III, jaune testacé; bords latéraux des tergites I, II et III et parfois le tiers apical du III, sternites sauf vers l'apex de l'abdomen, rouge testacé, parfois jaune testacé, très sombres chez le ♂; ailes hyalines ou faiblement enfumées entièrement et régulièrement; stigma et nervures bruns, sauf la médiane et l'anale, incolores à la base.

♂ ♀. *Tête*: face ponctuée (degré 2-3) assez densément et superficiellement aciculée, légèrement proéminente médialement, plus aciculée chez le ♂; espace malaire fortement ponctué (degré 4); clypéus différencié de la

face; ostioles faciales plus près de l'apex du clypéus que des yeux; vertex, occiput et tempes, très faiblement ponctués, virtuellement lisses (un peu plus fortement ponctués chez le ♂); espace oculo-ocellaire un tiers plus long que la distance qui sépare les ocelles postérieurs (6 : 8); 1<sup>er</sup> article du flagellum 4 fois (16 : 4), les articles préapicaux 2,5 fois plus longs que larges, ceux-ci à peine plus minces que les basilaires chez la ♀; articles du flagellum du ♂ légèrement comprimés, le 1<sup>er</sup> 2,8 fois plus long que large (14 : 5); les préapicaux 3 fois.

*Thorax* : mésonotum fortement ponctué (degré 5), ponctuation assez régulière, les pointillés séparés par un peu moins que leur propre diamètre, excepté le long des lignes des notaulices où ils sont presque contigus, les intervalles marqués par une petite aciculation moins apparente chez le ♂; sillon préscutellaire large, divisé irrégulièrement par quelques fortes carènes; disque du scutellum convexe, bordé à l'apex, avec une ponctuation de même intensité que le mésonotum, peut-être un peu moins serrée; mésopleures avec une forte ponctuation bien séparée, à l'exception d'une grande aire médiane lisse; partie antérieure des métapleures lisse; propodeum divisé par une carène longitudinale médiane assez faible, plus ou moins crénelée sur ses bords latéraux principalement vers l'apex, tégument lisse près de la base, densément ponctué ailleurs.

*Ailes* (fig. 28) : 1<sup>re</sup> abcisse de la radiale à peine plus longue que la largeur du stigma, formant un léger coude avec la 1<sup>re</sup> transverso-cubitale, sans tronçon à leur point de jonction; la deuxième de ces nervures un peu plus courte que la première et faiblement sinuée, recevant la 2<sup>e</sup> transverso-cubitale courte et à peine distincte, un peu au delà de son milieu; partie apicale de la 1<sup>re</sup> abcisse de la cubitale à peine plus courte que la récurrente; le point de jonction abcisses cubitales I, II et 1<sup>re</sup> transverso-cubitale, fenestré; stigma plus court que le métacarpe.

*Pattes III* : hanches fortement et irrégulièrement ponctuées, plus éparsemment sur la face externe où elles présentent une petite ponctuation secondaire dans les intervalles; ponctuation des fémurs petite, les pointillés reliés entre eux par un réseau d'acicules. Proportions : hanches, 22/40; fémurs, 13/40; tibias, 9/52; tarsi : I, 28; II, 12; III, 11; IV, 8; V, 8; le plus long épéron des tibias les 5/7 et le plus court presque les 2/7 de la longueur des métatarses.

*Abdomen* (fig. 29) : tergite I, 2,5 fois plus long que sa largeur apicale, celle-ci à peine plus étroite que la largeur basale et 2 fois sa plus grande largeur (25 : 10 : 11 : 12,5), ses bords latéraux faiblement divergents jusqu'au 1/4 apical, ensuite légèrement incurvés vers l'apex, ce dernier est droit, ses angles un peu arrondis; ce tergite est entièrement lisse et brillant dans les 3/4 basilaires, brillant et réticulé dans le 1/4 apical, au milieu à l'apex il porte un petit tubercule lisse et brillant auquel aboutit un profond sillon longitudinal médian, également un peu réticulé dans le 1/4 apical, lisse

ailleurs; tergite II marqué de deux forts sillons convergents, plus ou moins lisses, délimitant une aire médiane lisse, cintrée au milieu (chez le ♂, les sillons discaux sont droits), latéralement le tégument est lisse et porte quelques fines soies, sa longueur médiane égale à la largeur apicale du I, aire médiane plus étroite à la base que cette largeur; 2<sup>e</sup> suture bien marquée, latéralement inclinée vers l'arrière, moins fortement chez le ♂; tergite III, 1,3 fois plus long que le II (13 : 10), brillant et portant comme les suivants l'habituelle petite ponctuation sétigère, localisée latéralement, la partie médiane, subtriangulaire et lisse, est faiblement en relief; apex de l'hypopygium à angle droit (fig. 30); valves de la tarière courtes, sans appendice, mais portant quatre soies apicales incolores.

Longueur : 3 mm.

DISTRIBUTION GÉOGRAPHIQUE : Vers Rweru, volcan Mikeno, forêt de Bambous (alt. 2.400 m., 15.VI.1935), holotype ♀; lac Gando, volcan Karisimbi, Ruanda (alt. 2.400 m., 9.III.1935); Burunga, Mokoto (alt. 2.000 m., 15-16.III.1934), allotype ♂; 6 exemplaires : 3 ♂♂, 3 ♀♀.

AFFINITÉS : *M. vulcana* se place dans la clef de WILKINSON (1929) en même temps que l'espèce australienne *M. pernicioso* WILKN., dont, entre autres caractères, il se différencie plus particulièrement par les sillons du 2<sup>e</sup> tergite abdominal.

#### 16. — *Microgaster pluto* sp. n.

(Fig. 31-32.)

♂ ♀ : coloration semblable à celle de *M. vulcana*, sauf que l'enfumure apicale des fémurs et des tibias III est un peu plus faible et qu'il n'existe pas de bande apicale rouge testacé au tergite III. Les autres caractères par lesquels cette espèce se sépare de *M. vulcana* sont les suivants : espace oculocellaire égal à la distance séparant les ocelles postérieurs; antennes de la ♀ plus grêles et un peu comprimées comme celles du ♂; un peu plus fortes chez celui-ci; ponctuation du propodeum beaucoup plus faible, superficielle parfois presque absente dans la partie médiane, tégument ruguleux latéralement; tergite I un peu plus étroit à l'apex qu'à la base, ses bords latéraux faiblement convergents jusqu'au 1/4 apical, un peu plus fortement ensuite jusqu'à l'apex à peine émarginé, à angles apicaux arrondis; aire médiane en relief du tergite II plus étroite, plus ou moins semi-ovale ou fusiforme, délimitée par des sillons beaucoup plus superficiels que les basilaires, qui sont courts, divergents et plus distincts que chez *M. vulcana*, de chaque côté de cette aire, le tégument est vaguement sculpté; longueur médiane du tergite II, 1,5 fois plus longue que la largeur apicale du I et égale à la longueur du III (12 : 8 : 12) (fig. 31). Chez le ♂, le tergite I est un peu plus étroit que chez la ♀, le II est, par suite, un peu plus long que sa largeur apicale et égal au III; valves de la tarière avec un appendice (fig. 32).

Longueur : 3 mm.

DISTRIBUTION GÉOGRAPHIQUE : Rweru, volcan Mikeno, forêt de Bambous (alt. 2.400 m., 26-27.VII.1934), holotype ♀ et 2 paratypes ♂♂; lac Gando, volcan Karisimbi, Ruanda (alt. 2.400 m., 9.III.1935), allotype ♂; Burunga,

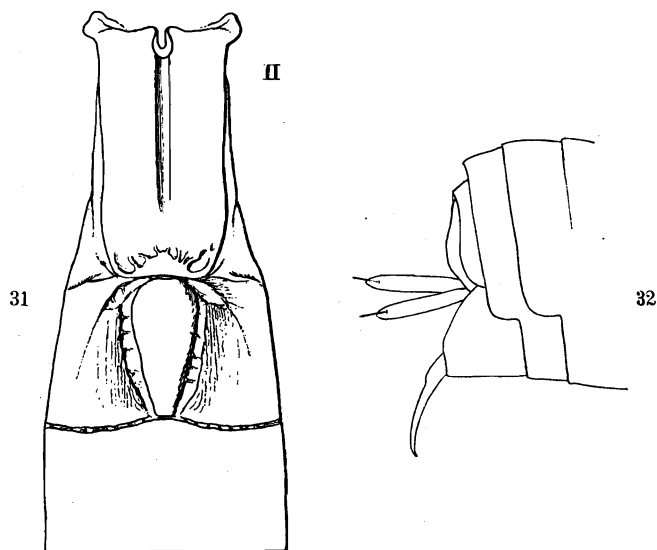


FIG. 31-32. — *Microgaster pluto* sp. n.

FIG. 31. — Détail des trois premiers tergites abdominaux.

FIG. 32. — Apex de l'abdomen.

Mokoto (alt. 2.000 m., 17-19.III.1934); vers Rweru, volcan Mikeno, forêt de Bambous (alt. 2.400 m., 12.VII.1934); lac Gando, au pied du volcan Karisimbi, Ruanda (alt. 2.400 m., 8.III. 1935); 9 exemplaires : 6 ♂♂, 3 ♀♀.

#### Sous-groupe spécifique FASCIIPENNIS.

Premier tergite abdominal ressemblant à celui des espèces du groupe précédent, toujours plus long que 1,5 fois sa plus grande largeur, faiblement recourbé, à bords latéraux plus ou moins parallèles, incurvés près de l'apex, divisé sur presque toute sa longueur par un sillon lisse bien marqué, sculpté seulement sur des parties latérales convexes localisées au tiers ou au quart apical, lisse ailleurs; 2<sup>e</sup> tergite plus ou moins de la longueur du 3<sup>e</sup>, lisse, à l'exception de deux courts sillons basilaires divergents; 2<sup>e</sup> suture habituellement fine, droite ou légèrement arquée; mésonotum et disque du scutellum à forte ponctuation accompagnée d'une petite aciculation intervallaire; ce dernier assez convexe, plus ou moins excavé en auget et bordé à l'apex; propodeum orné d'une carène longitudinale médiane; hanches et fémurs postérieurs fortement ponctués; valves de la tarière courtes, pourvues ou non d'un appendice préapical.

17. — **Microgaster palpicolor** sp. n.

(Fig. 33-37.)

♀ : noire; pièces buccales brun rougeâtre ainsi que les deux articles basiliaires des palpes maxillaires, tous les trochanters et les fémurs II (sauf ces derniers à l'apex); palpes labiaux brun rougeâtre clair; pattes I et II ailleurs y compris les éperons, excepté les hanches et l'article apical des tarses (ces derniers sont assombris), extrême base des fémurs (parfois), un anneau dans le tiers basal des tibias (celui-ci un peu plus pâle) et extrême base des métatarses des pattes III, sternites de la base et apex des valves de la tarière, rouge testacé foncé; bords latéraux membraneux des tergites I et II et la base des bords latéraux du III, jaune testacé sale, ainsi qu'une bande transversale occupant environ le 1/3 apical du III, ces parties sont parfois très sombres, à peine différenciées de la coloration du tergite; tarses III ailleurs et éperons des tibias III, brun à noirâtre; antennes brunes à peine plus claires à la base; ailes hyalines enfumées apicalement. l'enfumure comprenant la cellule radiale un peu au delà de sa moitié, plus de la moitié de la 3<sup>e</sup> cellule cubitale et le 1/3 distal de la 2<sup>e</sup> cellule discoïdale.

♀. *Tête* : face étroitement ponctuée (degré 5); clypéus différencié de la face; ostioles faciales un peu plus près de l'apex du clypéus que des yeux; vertex et occiput plus faiblement ponctués que la face, presque aussi fortement latéralement; espace oculo-ocellaire égal à la distance qui sépare les ocelles postérieurs; antennes plus longues que le corps; 1<sup>er</sup> article du flagellum 3,5 fois plus long que large, articles XIV, XV et XVI respectivement 2,2, 2,66 et 3,3 fois plus longs que larges (fig. 33).

*Thorax* : mésonotum rugueux à ponctuation forte et contiguë (degré 5), aciculation intervallaire, par suite, indistincte ou inexistante; sillon préscutellaire droit, peu crénelé; disque du scutellum ponctué comme le mésonotum, à apex bordé; mésopleures fortement ponctués sauf l'habituelle aire médiane lisse, cochléar superficiel; métapleures lisses antérieurement, ponctués ailleurs; propodeum brillant, divisé par une carène longitudinale complète, ailleurs marqué d'une forte ponctuation alvéolariforme et de quelques carènes secondaires irrégulières près des carènes latérale et apicale.

*Ailes* (fig. 34) : 1<sup>re</sup> abcisse de la radiale environ égale à la largeur du stigma et distinctement plus longue que la 1<sup>re</sup> transverso-cubitale, leur point de jonction portant un tronçon pigmenté court de la 2<sup>e</sup> abcisse de la radiale; 1<sup>re</sup> transverso-cubitale sinuée et recevant la 2<sup>e</sup>, punctiforme, au milieu; partie pigmentée de la partie apicale de la 1<sup>re</sup> abcisse de la cubitale égale à la récurrente; point de jonction abcisses cubitales I et II et 1<sup>re</sup> transverso-cubitale, fenestré; stigma plus court que le métacarpe.

*Pattes III* : hanches ponctuées en dessus à peu près comme le mésonotum, sur la face externe la ponctuation est plus petite et plus espacée, accompagnée d'une ponctuation secondaire dans les intervalles, la moitié distale

est franchement rugueuse; fémurs fortement ponctués. Proportions : hanches, 24/40; fémurs, 14/50; tibias, 10/54; tarses : I, 28; II, 12; III, 10; IV, 8; V, 8; le plus long éperon des tibias 1,55 fois plus long et le plus court la moitié de la longueur des métatarses.

*Abdomen* (fig. 35) : tergite I, deux fois plus long que large à l'apex, ses bords latéraux parallèles jusqu'au 1/3 apical où ils s'évasent légèrement

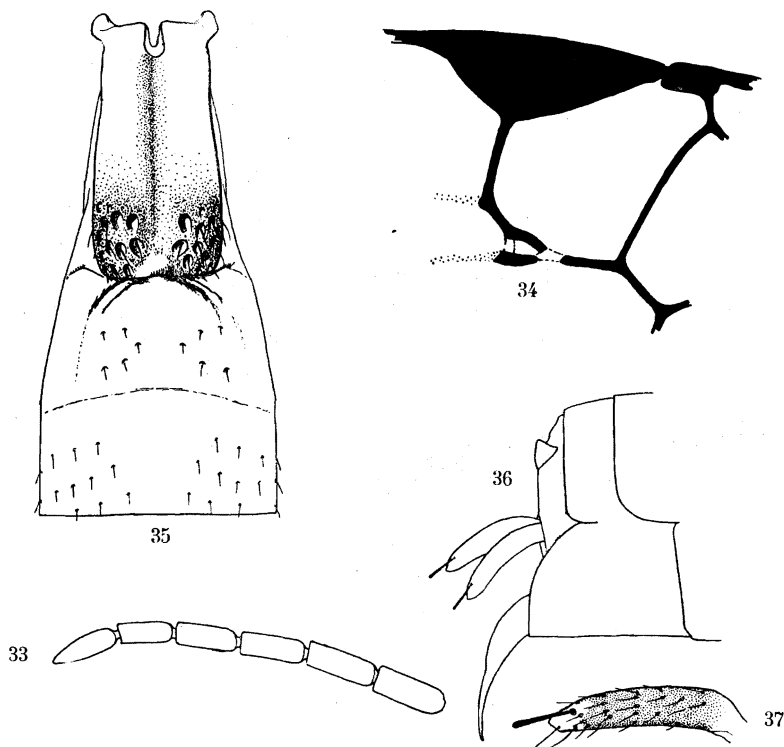


FIG. 33-37. — *Microgaster palpicolor* sp. n. ♀.

FIG. 33. — Sommet de l'antenne. FIG. 34. — Détail de la nervation de l'aile antérieure.

FIG. 35. — Détail des trois premiers tergites abdominaux.

FIG. 36. — Apex de l'abdomen. FIG. 37. — Valve de la tarière.

pour s'incurver ensuite vers l'apex, le tergite est, par suite, un peu plus étroit à la base qu'à l'apex (22 : 11 : 9), lisse et brillant dans les 2/3 basilaire, éparsément et grossièrement ponctué avec quelques soies dans le 1/3 apical où il est proéminent, divisé depuis la base par un fort sillon longitudinal médian disparaissant au 1/4 apical, bordé latéralement par un sillon faiblement crénelé dans la 1/2 apicale, l'apex orné au milieu d'un petit tubercule irrégulier, lisse et brillant; longueur médiane du tergite II égale à la largeur apicale du I, brillant, portant quelques imperceptibles pointillés sétigères à soies courtes et deux sillons basilaire, courts et large-

ment divergents; 2<sup>e</sup> suture faiblement marquée et légèrement arquée; tergite III à peine plus long que le II, brillant et portant comme les suivants la petite ponctuation habituelle; apex de l'hyppogygium à angle droit; valves de la tarière courtes, à appendice long environ égal au 1/3 de la longueur des valves (fig. 36-37).

Longueur : 2,5 à 3 mm., ♂, inconnu.

DISTRIBUTION GÉOGRAPHIQUE : Rutshuru, riv. Musugereza (alt. 1.100 m., 10.VII.1935), holotype ♀ et paratypes; Rutshuru, riv. Kanzarue (1.200 m., 15.VII.1935); Rutshuru, riv. Fuku (alt. 1.250 m., 2.VII.1935); Rutshuru (alt. 1.285 m., 3.VII.1935); 7 exemplaires.

AFFINITÉS : Cette espèce diffère de *M. carina* WILKN. par les ocelles équidistants entre eux et les yeux, les valves de la tarière avec appendice, la coloration des palpes, tibiais et éperons et la présence d'une bande claire à l'apex du tergite III; de *M. fasciipennis* GAHAN, par les ocelles, la longueur de la 1<sup>re</sup> abcisse de la radiale et les caractères de coloration; de *M. persimilis* WILKN., par les mêmes caractères que *M. carina* sauf les appendices aux valves de la tarière. Elle présente une étroite affinité avec *M. turneri* WILKN., dont elle se distingue par l'enfumure des ailes.

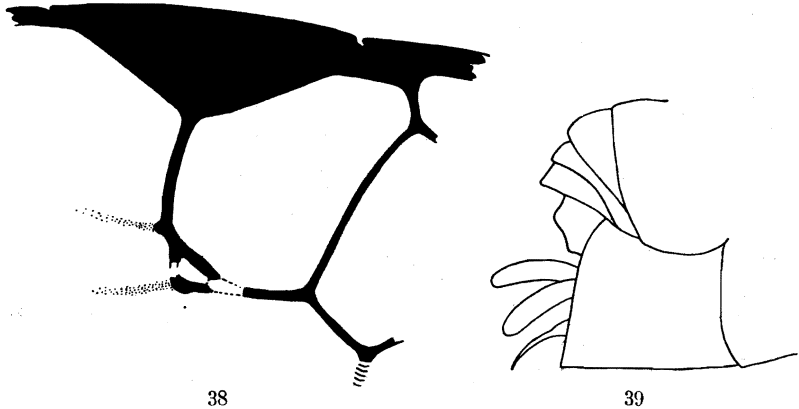


FIG. 38-39. — *Microgaster anandra* sp. n. ♀.

FIG. 38. — Détail de la nervation de l'aile antérieure. FIG. 39. — Apex de l'abdomen.

#### 18. — *Microgaster anandra* sp. n.

(Fig. 38-39.)

♀ : semblable à *M. coxalis*, en diffère seulement par les caractères suivants :

Hanches I et II rouge sombre, virtuellement noires; 1<sup>re</sup> abcisse de la radiale environ égale à la largeur du stigma (fig. 38); 1<sup>re</sup> transverso-cubitale égale aux 2/3 de cette largeur et recevant la 2<sup>e</sup> transverso-cubitale au delà du milieu; enfumure apicale des ailes I faible; éperons des tibiais jaune

testacé; métatarses III, 1,65 fois plus longs que l'éperon interne des tibias III; valves de la tarière sans appendice; apex de l'hypopygium presque à angle droit (fig. 39).

Longueur : 3,25 mm.; ♂, inconnu.

DISTRIBUTION GÉOGRAPHIQUE : Ngesho (alt. 2.000 m., 3-6.IV.1934); 1 exemplaire holotype.

[**Microgaster turneri** WILKINSON.]

*Microgaster turneri* WILKINSON, Trans. Ent. Soc. Lond., LXXVII, 1929, p. 113, ♂ ♀.

DISTRIBUTION GÉOGRAPHIQUE : Afrique du Sud (province du Cap). Hôte et cocon, inconnus.

[V. — **Microgaster earina** WILKINSON.]

*Microgaster earina* WILKINSON, Trans. Ent. Soc. Lond., LXXVII, 1929, p. 115, ♂ ♀; DE SAEGER, Rev. Zool. Bot. afr., XXXV, 1942, p. 339.

BIOGÉOGRAPHIE : Nigeria, parasite probablement *Earias biplaga* WLK. (Noctuidae); Congo Belge : Nyangwe (Maniema), parasite de *Earias biplaga* WLK.; Rutshuru (Kivu), obtenu en même temps que *Apanteles diparopsidis* LYLE et renseigné « ex capsules de *Hibiscus rostellatus* avec *Earias* sp., *Platyedra cunctatrix* MEYR., *Dichocrocis surusalis* WLK., etc. ».

Cocons : blancs ou chamois clair, solitaires.

19. — **Microgaster fasciipennis** GAHAN.

*Microgaster fasciipennis* GAHAN, Proc. U. S. Nat. Mus., liv. n° 2252, 1918, p. 587, ♂ ♀; WILKINSON, Trans. Ent. Soc. Lond., LXXVII, 1929, p. 116; DE SAEGER, Rev. Zool. Bot. afr., XXXV, 1942, p. 339.

BIOGÉOGRAPHIE : Kampala (Uganda), parasite de *Deilemeria apicalis* WLK. (Hipsidae), cocons blancs, arrangés côte à côte en une masse compacte comme les cellules d'une ruche; Congo Belge : Benza Mazola (Bas-Congo); Bambesa (Uele); Eala (Équateur); les spécimens originaux de cette dernière localité sont étiquetés « ex chenilles de bollworm », probablement *Earias* sp., ceux de Bambesa porte seulement la mention « sur Ricin ». Une série en provenance d'Eala est accompagnée de deux échantillons de cocons, ceux-ci sont régulièrement agglomérés en grand nombre et juxtaposés côte à côte, les orifices de sortie situés irrégulièrement sur l'une ou l'autre face de cette sorte de gâteau; ces cocons sont jaune soufre avec un léger duvet blanchâtre les réunissant; chaque spécimen de la série de Bambesa est accompagnée d'un cocon isolé paraissant un peu plus grand que les précédents, de texture

plus papyracée et de couleur chair. Il est très probable qu'il s'agit de deux espèces différentes.

Coll. DE WITTE : Rutshuru, riv. Fuku (alt. 1.250 m., 4.VII.1935); 2 exemplaires ♂♂.

[**Microgaster persimilis** WILKINSON.]

*Microgaster persimilis* WILKINSON, Trans. Ent. Soc. Lond., LXXVII, 1929, p. 118, ♂ ♀.

DISTRIBUTION GÉOGRAPHIQUE : Kampala (Uganda). *Hôte* : inconnu. *Cocons* : ressemblant à ceux de *M. fasciipennis* mais leur couleur est chamois très pâle.

20. — **Microgaster coxalis** sp. n.

(Fig. 40-42.)

Semblable aux caractères décrits de *M. palpicolor* à l'exception des suivants :

♀ : hanches I et II excepté un peu à la base, le restant des pattes I et II, trochanters, trochantelles et une trace en-dessous à la base des fémurs des pattes III, rouge testacé; palpes (sauf l'article basal des palpes maxillaires et anneau basal des tibias III, jaune testacé; fémurs II assombris sauf un peu à l'apex; scapes rougeâtres; flagellum et tarsi III, brun rougeâtre, le flagellum à peine plus clair à la base; article basal des palpes maxillaires brun.

♀ : ponctuation de la face, du mésonotum et du disque du scutellum un peu moins dense que chez *M. palpicolor*, par suite, la petite aciculation intervallaire du mésonotum est plus apparente; espace oculo-ocellaire un peu plus court que la distance séparant les ocelles postérieurs; ostioles faciales distinctement plus près de l'apex du clypéus que des yeux; 1<sup>er</sup> article du flagellum 3,5 fois plus long que large (fig. 40-41); nervation alaire identique, sinon que la 1<sup>re</sup> transverso-cubitale est plus droite et la 2<sup>e</sup> oblique (fig. 42); proportions des pattes III : hanches, 30/50; fémurs, 16/58; tibias, 12/60; tarsi : I, 36; II, 23; III, 11; IV, 8; V, 8; les métatarses sont donc 1,66 fois plus longs que les tibias, contre 1,9 chez *M. palpicolor* et 1,44 fois plus longs que le plus long éperon des tibias, contre 1,55 fois.

♂ : ne diffère de la ♀ que par les caractères suivants :

Scapes et pédicelles plus clairs; ailes I entièrement et faiblement enfumées un peu plus fortement à l'apex; bords membraneux des tergites I et II, sombres; espace oculo-ocellaire égal à la distance qui sépare les ocelles postérieurs; 1<sup>er</sup> article du flagellum 3 fois plus long que large; tergite I plus court, sa longueur médiane 1,8 fois sa largeur apicale qui est à peine plus large que la base (20 : 11 : 10).

Longueurs : ♂, 2,8 à 3,2 mm.; ♀, 3,5 mm.

DISTRIBUTION GÉOGRAPHIQUE : Rutshuru (alt. 1.285 m., 29-31.V.1935), holotype ♀ et allotype ♂; volcan Nyamuragira (alt. 1.820 m., 14-26.VI.1935);

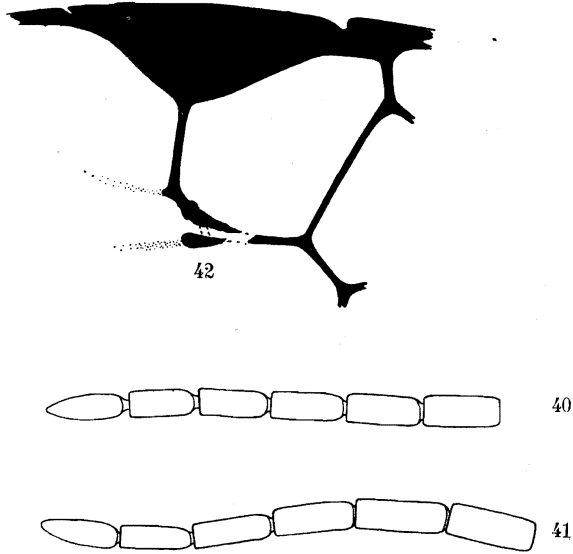


FIG. 40-42. — *Microgaster coxalis* sp. n.

FIG. 40. — Sommet de l'antenne ♀. FIG. 41. — Sommet de l'antenne ♂.

FIG. 42. — Détail de la nervation de l'aile antérieure.

Burunga, Mokoto (alt. 2.000 m., 15-16.III.1934); Ngesho (alt. 2.000 m., 3-6.IV.1934); lac Kivu : Nzulu (alt. 1.500 m., 6-7.II.1934); Rutshuru (alt. 1.285 m., 1-6.VI.1935, 7.VI.1935); 8 exemplaires : 6 ♂♂, 2 ♀♀.

21. — ***Microgaster semirufa*** sp. n.

(Fig. 43-44.)

♀ : noire; pattes I excepté les hanches, trochanters, trochantelles, faiblement l'apex des fémurs, tibias et tarsi des pattes II, trochanters, trochantelles et une trace à la partie inférieure à la base des fémurs ainsi qu'un anneau occupant environ la moitié basale des tibias et base des métatarses des pattes III; tergites II et III (sauf parfois l'aire entre les sillons du II brunâtre), sternites de la base ainsi que les bords membraneux de I et II, rouge testacé; parties buccales et scapes, rouge testacé, plus foncé que les pattes; hanches I et II noirâtres sur la base, à tendance au rouge testacé à l'apex; flagellum brun rougeâtre; palpes et éperons des tibias III un peu rougeâtres; ailes hyalines avec une enfumure distale comprenant environ la 1/2 de la cellule radiale, près des 2/3 de la 3<sup>e</sup> cellule cubitale et le 1/3 distal de la 2<sup>e</sup> discoïdale.

♀ : semblable à *M. palpicolor*, excepté :

Espace oculo-ocellaire à peine plus long que la distance séparant les ocelles postérieurs (7 : 6); 1<sup>er</sup> article du flagellum 3 fois plus long que large, articles préapicaux environ 2,66 fois; mésonotum moins densément ponctué mais presque aussi fortement que *M. palpicolor* le long des lignes des notaulices; disque du scutellum également moins densément ponctué; propodeum à carène longitudinale médiane fortement crénelée de part et d'autre, ponctué et grossièrement réticulé ailleurs; partie apicale de la 1<sup>re</sup> abcisse de la cubitale distinctement plus courte que la récurrente (fig. 43); hanches un peu

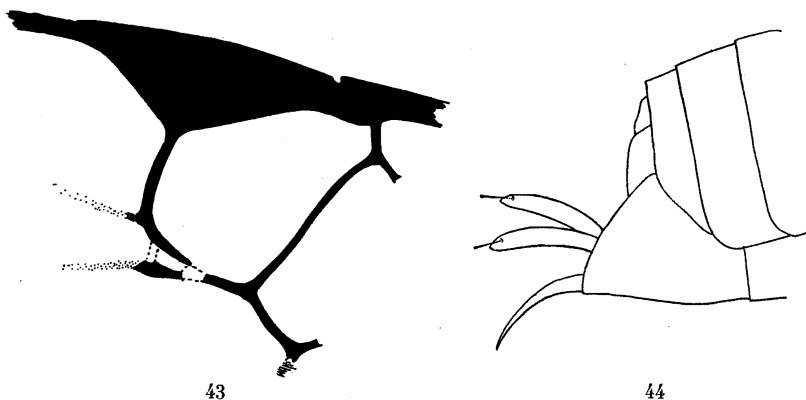


FIG. 43-44. — *Microgaster semirufa* sp. n. ♀.

FIG. 43. — Détail de la nervation de l'aile antérieure. FIG. 44. — Apex de l'abdomen.

plus petites, 22/36 contre 24/40; tergite I plus étroit, sa largeur apicale légèrement moindre que la 1/2 de sa longueur médiane (22 : 9), tergite II, 1/3 plus long au milieu que cette largeur et tergite III, un peu plus long que le II (12 : 9 : 14); apex de l'hypopygium formant un angle aigu, valves de la tarière semblables à celles de *M. palpicolor*, peut-être un peu plus grêles (fig. 44).

Longueur : 3 mm.; ♂, inconnu.

DISTRIBUTION GÉOGRAPHIQUE : Rutshuru, riv. Musugereza (alt. 1.000 m., 8.VII.1935), holotype; Rutshuru, riv. Kanzarue (alt. 1.200 m., 16.VII.1935); Ruhengeri, riv. Penge (alt. 1.800 m., 30-31.VII.1934); 4 exemplaires.

Il y a lieu de remarquer la localisation, de cette espèce, près des rivières, dans trois stations différentes. Elle est probablement inféodée à un hôte appartenant à la faunule ripicole.

AFFINITÉS : Cette espèce se sépare de *M. palpicolor*, essentiellement par la couleur des hanches, des palpes et éperons des tibias III, de la coloration abdominale et par la plus forte sculpture du propodeum.

## Sous-groupe BASIMACULA.

Ce sous-groupe est principalement caractérisé par l'aspect tout à fait particulier des trois premiers tergites abdominaux. Cette conformation se rapporte tellement peu aux caractères habituels des *Microgaster* qu'on pourrait presque considérer cette forme comme appartenant à un genre différent. En réalité plusieurs autres caractères la rattachent bien à ce genre et ce n'est que par leur biologie qu'elle pourrait en être éventuellement séparée.

Trois premiers tergites abdominaux fortement chitinisés, le premier fortement recourbé dans la moitié apicale, à bords latéraux droits et divergents, divisé médialement par un sillon longitudinal occupant généralement toute sa longueur, parties latérales plus ou moins convexes à l'apex et fortement sculptées; 1<sup>re</sup> suture paraissant flexible, droite ou à peine échancrée; 2<sup>e</sup> tergite marqué d'une aire médiane de proportions variables, lisse ou striée, plus ou moins fortement délimitée par des sillons habituellement crénelés, les bords latéraux extrêmes du tergite, limités par une étroite carène lisse, qui s'élargit antérieurement, arrondissant les angles latéraux des parties latérales, celles-ci toujours assez fortement sculptées; 2<sup>e</sup> suture toujours forte, crénelée, en arc de cercle vers la partie postérieure, en sorte que les parties latérales du 2<sup>e</sup> tergite sont plus fortement arrondies postérieurement qu'antérieurement; 3<sup>e</sup> tergite à angles apicaux largement arrondis, à apex droit ou légèrement échancré, ordinairement proéminent médialement, l'aire ainsi formée subtriangulaire, plus ou moins allongée, pas ou faiblement bordée, lisse ou très peu sculptée, parties latérales du 3<sup>e</sup> tergite plus ou moins fortement striées et ponctuées partiellement ou entièrement, parfois fortement déprimé transversalement au milieu; la plus grande largeur du tergum située généralement à l'apex du 3<sup>e</sup> tergite, mais souvent, cependant, à l'apex du 2<sup>e</sup>; mésonotum et disque du scutellum fortement ponctués et présentant toujours une petite aciculation intervallaire, ce dernier très convexe à apex rebordé; carène longitudinale médiane du propodeum toujours présente; hanches postérieures très développées atteignant fréquemment les deux tiers de la longueur de l'abdomen, fortement ponctuées, comme aussi les fémurs; valves de la tarière toujours courtes, pourvues ou non d'un appendice préapical.

22. — *Microgaster glaphyra* sp. n.

(Fig. 45.)

♀ : noire; pièces buccales, tegulae, pattes I et II, éperons des tibias III, jaune-rouge testacé; extrême apex des hanches, trochanters, trochantelles, 3/4 basilaires des fémurs, un large anneau dépassant la moitié de la longueur des tibias et base des métatarses des pattes III, rouge testacé; tarsi III, brun noirâtre; tergites I et II jaune rouille, ce dernier discalement plus sombre; palpes pâles; ailes hyalines avec une faible enfumure apicale à

peine perceptible aux ailes II; stigma et nervures bruns, nervures médiane et anale décolorées à la base, la costale basalement plus claire.

♀. *Tête* : brillante, ponctuée et aciculée; face médialement un peu proéminente avec une carène longitudinale médiane à la partie supérieure; clypéus à peine différencié de la face; ostioles faciales distinctement plus près de l'apex du clypéus que des yeux; espace oculo-ocellaire égal à la distance qui sépare les ocelles postérieurs; antennes un peu plus courtes que le corps, fortement striées longitudinalement (sensilla); 1<sup>er</sup> article du flagellum 2,5 fois plus long que large (15 : 6), les articles préapicaux larges et courts, environ 1,5 fois plus longs que larges, l'article apical 2 fois.

*Thorax* : mésonotum assez brillant, à ponctuation peut-être un peu moins espacée que l'habituelle, sauf le long des lignes des notaulices, aciculation intervallaire présente; sillon préscutellaire un peu arqué, crénelé; disque du

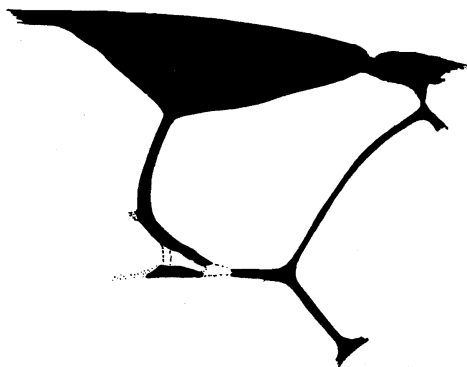


FIG. 45. — *Microgaster glaphyra* sp. n. ♀, détail de la nervation de l'aile antérieure.

scutellum ponctué comme le mésonotum, à apex non caréné; axillae lisses: mésopleures lisses et brillants discalement, fortement ponctués ailleurs, excepté postérieurement où ils sont striolés-ponctués; propodeum brillant, ponctué moins régulièrement et moins fortement que le mésonotum, à carène longitudinale médiane faiblement crénelée sur les côtés.

*Ailes* (fig. 45) : 1<sup>re</sup> abcisse de la radiale égale à la largeur du stigma et distinctement plus longue que la 1<sup>re</sup> transverso-cubitale, avec laquelle elle forme une courbe à angle obtus, leur point de jonction étant peu distinct; récurrente égale à la 1<sup>re</sup> transverso-cubitale, celle-ci reçoit la 2<sup>e</sup> transverso-cubitale, punctiforme, au milieu; point de jonction abcisses cubitales I, II et 1<sup>re</sup> transverso-cubitale, fenestré; stigma de même longueur que le métacarpe.

*Pattes III* : hanches portant une forte ponctuation assez dense sur la face supérieure à la base et une ponctuation similaire à la base de la face

externe où elle est accompagnée d'une petite ponctuation secondaire, ailleurs étroitement ponctuées, rugueuses. Proportions : hanches, 30/50; fémurs, 15/58; tibias, 12/60; tarses : I, 35; II, 15; III, 12; IV, 10; V, 9:

*Abdomen* : tergite I ponctué, parties latérales peu convexes, sa longueur médiane à peine plus longue que sa largeur apicale (28 : 35); tergite II, striolé à la base, lisse latéralement avec quelques gros pointillés superficiels, aire médiane étroite, 5,5 fois plus longue que large, délimitée par des sillons irréguliers, sa largeur apicale 1,12 fois sa largeur basale, 5,5 fois sa longueur médiane et 1,27 fois sa longueur latérale (18 : 25 : 18 : 22); tergite III caréné à la base, entièrement lisse et brillant ailleurs et dépourvu d'aire médiane, sa largeur apicale égale à sa largeur basale et 1,33 fois sa longueur médiane (28 : 28 : 21); tergites suivants avec l'habituelle petite ponctuation; valves de la tarière courtes, à appendice sétiforme environ 4 fois plus petit que la longueur des valves.

Longueur : 3,5 mm.; ♂, inconnu.

DISTRIBUTION GÉOGRAPHIQUE : Rweru, volcan Mikeno, forêt de Bambous (alt. 2.400 m., 26-27.VII.1934); 1 exemplaire holotype ♀.

### 23. — *Microgaster agama* sp. n.

(Fig. 46.)

♂ : noir; antennes, hanches I et II, brun noirâtre; pièces buccales et palpes maxillaires bruns, excepté le pénultième article de ceux-ci qui est plus clair; pattes I et II, brun rougeâtre, tarses plus foncés apicalement; base des fémurs et anneau dans le tiers basal des tibias des pattes III, tergites I et II, rouge testacé; ailes hyalines, enfumées légèrement à l'apex, enfumure peu distincte aux ailes II; nervation brune, nervures médiane et anale pâles ainsi que la 1<sup>re</sup> abcisse de la cubitale, celle-ci partiellement.

♂. *Tête* : face ponctuée et aciculée; clypéus non différencié; ostioles faciales à peine plus près de l'apex du clypéus que des yeux; ocelles postérieurs beaucoup plus rapprochés des yeux que l'un de l'autre; antennes épaisses légèrement comprimées, les articles du flagellum, en moyenne, trois fois plus longs que larges.

*Thorax* : mésonotum ponctué comme le type du groupe, ponctuation plus dense le long des lignes des notaulices et sur une ligne médiane; sillon pré-scutellaire large et crénelé; disque du scutellum ponctué comme le mésonotum, à apex bordé; propodeum brillant, portant une ponctuation dense et plus grossière que celle du mésonotum, orné de l'habituelle carène longitudinale médiane et caréné latéralement; mésopleures fortement ponctués, excepté une aire médiane lisse et brillante.

*Ailes* (fig. 46) : largeur du stigma et longueur de la 1<sup>re</sup> transverso-cubitale égales, un peu plus longues que la 1<sup>re</sup> abcisse de la radiale, celle-ci est très oblique par rapport au stigma et forme un angle aigu avec la 1<sup>re</sup> transverso-

cubitale, celle-ci droite, reçoit la 2<sup>e</sup> transverso-cubitale au milieu; partie apicale pigmentée de la 1<sup>re</sup> abcisse de la cubitale courte, faiblement pigmentée à hyaline distalement; récurrente un peu plus courte que la 1<sup>re</sup> abcisse de la radiale; stigma égal à la longueur du métacarpe.

*Pattes III* : hanches rugueuses à ponctuation dense. Proportions : hanches, 30/50; fémurs, 15/58; tibias, 12/66; tarses (absents).

*Abdomen* : tergite I fortement ponctué, à sillon médian crénelé, sa longueur médiane à peine plus grande que sa largeur apicale (32 : 30); tergite II

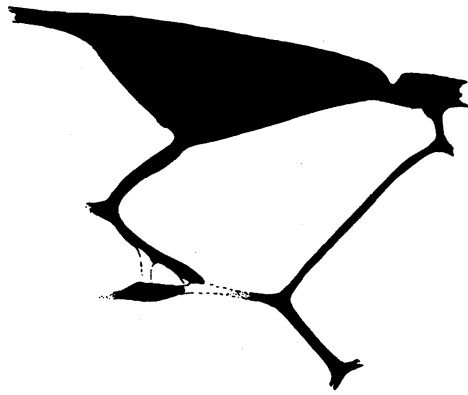


FIG. 46. — *Microgaster agama* sp. n. ♂, détail de la nervation des ailes antérieures.

sculpté comme le I, mais à ponctuation plus distincte, excepté l'aire longitudinale médiane qui est lisse et brillante, à bords parallèles et 3,66 fois plus longue que large, la longueur médiane du tergite égale à sa largeur basale, sa largeur apicale 1,54 fois plus longue que cette dernière (22 : 22 : 34); tergite III strié par des carènes longitudinales s'atténuant vers le milieu et grossièrement ponctué jusqu'au bord postérieur, sa longueur médiane 1,2 fois plus courte que ses largeurs basale et apicale (34 : 28 : 28).

Longueur : 3,5 mm.; ♀, inconnue.

DISTRIBUTION GÉOGRAPHIQUE : Tshengelero, près de Munagana (alt. 1.750 m., 21.VIII.1934); 1 exemplaire.

[VI. — **Microgaster basimacula** (CAMERON).]

*Apanteles basimacula* CAMERON, Rec. Albany Mus., I, f. 3, 1904, p. 173, ♂ ♀.

*Microgaster basimacula* (CAM.) WILKINSON, Trans. Ent. Soc. Lond., LXXVII, 1929, p. 101.

DISTRIBUTION GÉOGRAPHIQUE : Afrique du Sud. *Hôte* et *cocon*, inconnus.

24. — *Microgaster neglecta* sp. n.

(Fig. 47-50.)

♂ ♀ : noirs; scapes antérieurement, pattes I et II entièrement, 1/3 apical ou seulement l'apex des hanches, trochanters, trochantelles, base des fémurs, anneau dans la 1/2 basale des tibias, éperons de ces derniers et base des métatarses des pattes III, jaune-rouge testacé; palpes pâles, tegulae rouge sombre

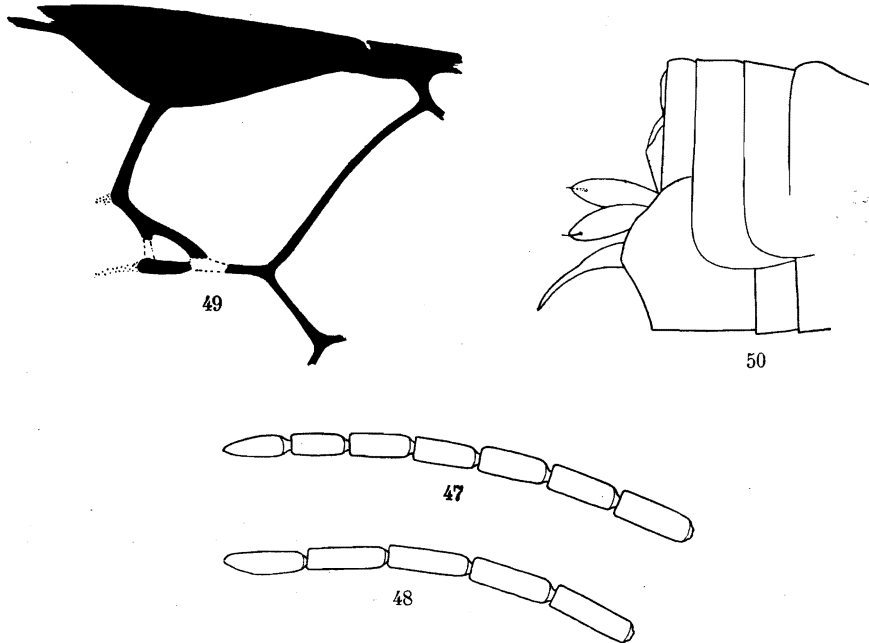
FIG. 47-50. — *Microgaster neglecta* sp. n.

FIG. 47. — Sommet de l'antenne ♀. FIG. 48. — Sommet de l'antenne ♂.

FIG. 49. — Détail de la nervation de l'aile antérieure.

FIG. 50. — Apex de l'abdomen.

à noires; tergite I, plus largement à la base et sur les côtés ou entièrement, les bords latéraux membraneux du tergite II, rougeâtre testacé sombre; tarsi III, nervures et stigma, bruns; ailes hyalines, enfumées distalement.

♂ ♀. *Tête* : face ponctuée et aciculée; clypéus faiblement différencié; ostioles faciales à égale distance de l'apex du clypéus et des yeux; vertex et occiput petitement ponctués et aciculés; ocelles postérieurs plus près l'un de l'autre que des yeux; 1<sup>er</sup> article du flagellum 3,75 fois plus long que large et les articles préapicaux 3 fois chez la ♀, respectivement 3 fois et 3,5 fois chez le ♂ (fig. 47-48).

*Thorax* : ponctuation habituelle (sous-groupe) du mésonotum et du disque du scutellum, rugueuse le long des lignes des notaulices; mésopleures forte-

ment ponctués-réticulés dans l'angle huméral, à petite ponctuation espacée dans le cochléar, lisses ailleurs; métapleures lisses antérieurement; propodeum divisé par une forte carène longitudinale médiane crénelée, à tégument grossièrement ponctué, sauf près de l'apex où il est lisse.

*Ailes* (fig. 49) : 1<sup>re</sup> abcisse de la radiale un peu plus longue que la largeur du stigma, égale à la 1<sup>re</sup> transverso-cubitale et faisant avec celle-ci un angle presque droit, cette dernière est faiblement sinuée et reçoit la 2<sup>e</sup> transverso-cubitale un peu au delà de son milieu; récurrente 2 fois plus longue que la partie pigmentée de la 1<sup>re</sup> abcisse de la cubitale; stigma et métacarpe d'égale longueur.

*Pattes III* : hanches rugueuses, seule une petite aire, sur la partie supérieure à la base, présente une ponctuation plus éparsée, accompagnée d'une petite ponctuation secondaire; fémurs petitement et étroitement ponctués-aciculés. Proportions : hanches, 34/56; fémurs, 17/60; tibias, 13/70; tarsi : I, 38; II, 16; III, 12; IV, 10; V, 9; le plus long éperon des tibias environ les 6/7 et le plus court la moitié de la longueur des métatarses.

*Abdomen* : tergite I à ponctuation forte, alvéolariforme et sillon médian profond, sa longueur médiane 1/5 plus longue que sa largeur apicale; tergite II ponctué comme le I, mais moins fortement, aire médiane étroite, à bords parallèles, sillons discaux larges et crénelés, sa longueur médiane un peu plus courte que la largeur apicale du I et à peine plus courte que la longueur médiane du III, sa longueur latérale égale à sa largeur basale et celle-ci les 5/7 de sa largeur apicale (22 : 25 : 23 : 25 : 35); tergite III fortement strié et éparsément ponctué, sauf un bord apical lisse et l'aire médiane peu proéminente, longue et étroite; hypopygium à apex recoupé; valves de la tarière courtes, à appendice sétiforme (fig. 50).

Longueur : 3,5 mm.

DISTRIBUTION GÉOGRAPHIQUE : Ruhengeri, riv. Penge, Ruanda (alt. 1.800-1.825 m., 30-31.VIII.1934), holotype ♀ et allotype ♂; Ruhengeri, source riv. Kirii, Ruanda (alt. 1.800-1.825 m., I.X.1934); Tshengelero, près de Munagana (alt. 1.750 m., 21.VIII.1934); Rutshuru (alt. 1.285 m., 1-6.VI.1935); Rutshuru, riv. Fuku (alt. 1.250 m., 6.VII.1935); Rwindi (alt. 1.000 m., 20-24 XI.1934); 17 exemplaires : 6 ♂♂, 11 ♀♀.

## 25. — *Microgaster coronata* sp. n.

(Fig. 51-53.)

♂ ♀ : noirs; pattes I et II entièrement (tibias II légèrement assombrés sur la face externe et tarsi un peu plus rouges), plus de la moitié apicale des hanches (1/3 apical chez le ♂), trochanters, trochantelles, extrême base des fémurs, anneau dans le 1/3 basal des tibias, éperons de ceux-ci et base des métatarses des pattes III, jaune-rouge testacé; palpes jaune testacé; apex des scapes, sternites basilaires, rouge testacé; antennes et tarsi III,

rouge brunâtre; ailes I un peu jaunâtres, enfumées légèrement à l'apex, l'enfumure comprenant la 1/2 de la cellule radiale, la 3<sup>e</sup> cellule cubitale entièrement et une zone distale dans la 2<sup>e</sup> cellule discoïdale, comprise entre la base de la 3<sup>e</sup> abcisse de la cubitale et l'apex de la parallèle, en outre une bande transversale enfumée, peu distincte, va du milieu du bord postérieur

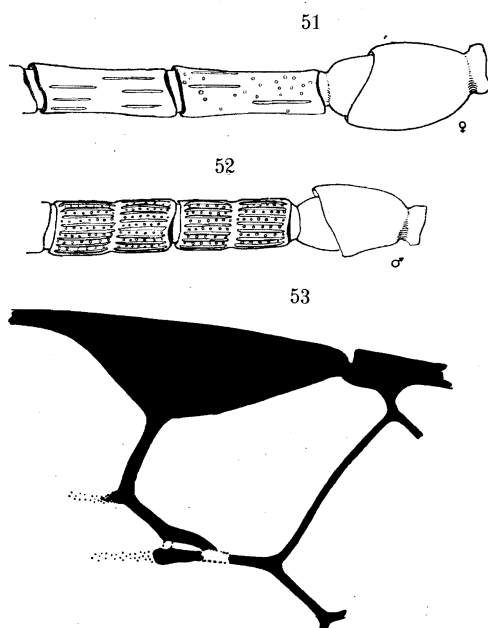


FIG. 51-53. — *Microgaster coronata* sp. n.

FIG. 51. — Base de l'antenne ♀. FIG. 52. — Base de l'antenne ♂.

FIG. 53. — Détail de la nervation des ailes antérieures.

du stigma au bord postérieur de l'aile, ailes II faiblement et régulièrement assombries vers l'apex; chez le ♂, les ailes sont régulièrement et faiblement enfumées entièrement.

♂ ♀. *Tête* : face ponctuée-aciculée, ornée d'une carène longitudinale médiane assez superficielle; clypéus à peine différencié de la face, à ponctuation plus petite et à aciculation transversale très fine; ostioles faciales plus près de l'apex du clypéus que des yeux; vertex et occiput à très petite ponctuation, bord orbital aciculé; tempes plus densément ponctuées que la face; espace oculo-ocellaire égal à la distance qui sépare les ocelles postérieurs; 1<sup>er</sup> article du flagellum trois fois plus long que large, articles préapicaux subégaux, 2,5 fois plus longs que larges, stries sensillaires espacées, la ponctuation étant plus apparente que les stries chez la ♀; le ♂ a les stries plus distinctes et plus nombreuses, articles du flagellum un peu comprimés, le 1<sup>er</sup> moins de trois fois plus long que large (fig. 51-52).

*Thorax* : ponctuation habituelle du mésonotum et du disque du scutellum, assez dense, mais un peu plus superficielle que chez les autres espèces du sous-groupe, aciculation intervallaire peu apparente, tégument à peine brillant; sillon préscutellaire droit, assez étroitement crénelé; mésopleures fortement ponctués dans l'angle huméral, faiblement ponctués et fortement aciculés dans le cochléar, lisses ailleurs; propodeum mat, divisé par l'habituelle carène longitudinale médiane, à ponctuation discale petite et superficielle, lisse ailleurs sauf quelques carènes faibles près des stigmates.

*Ailes* (fig. 53) : 1<sup>re</sup> abscisse de la radiale un peu plus courte que la largeur du stigma et distinctement plus courte que la 1<sup>re</sup> transverso-cubitale, ces deux nervures formant entre elles un angle droit et portant un tronçon bien distinct à leur point de jonction, la 1<sup>re</sup> transverso-cubitale à peu près droite, reçoit la 2<sup>e</sup> un peu avant son milieu; partie apicale de la 1<sup>re</sup> abscisse de la cubitale égale aux 2/3 de la longueur de la récurrente; stigma plus court que le métacarpe.

*Pattes III* : hanches fortement ponctuées avec une petite ponctuation secondaire dans les intervalles, dense sur la face supérieure; fémurs petitement ponctués, les pointillés reliés par un réseau de fines aciculations. Proportions : hanches, 28/48; fémurs, 15/58; tibias, 11/60; tarses : I, 35; II, 14; III, 11; IV, 8; V, 10; le plus long éperon des tibias les 3/4 et le plus court un peu plus de la moitié de la longueur des métatarses.

*Abdomen* : un peu mat à la base; tergite I à peine 1/5 plus long que sa largeur apicale (24 : 20), grossièrement réticulé-ponctué; longueur médiane du tergite II égale à la largeur apicale du I, 1,4 fois plus courte que sa propre largeur apicale (20 : 20 : 28), aire médiane à bords parallèles, à peine rétrécie à l'apex, sillons discaux forts, sculpture semblable à celle du I latéralement; tergite III un peu plus long que le II (24 : 20), son aire médiane nettement délimitée, latéralement sculpté comme les tergites précédents, mais plus superficiellement, strié à la base, lisse près du bord apical; valves de la tarière courtes, pourvues d'un appendice sétiforme assez long.

Longueur : 3 à 3,5 mm.

DISTRIBUTION GÉOGRAPHIQUE : Rutshuru (alt. 1.285 m., 22.V. et 4.VI.1934, 6.VI et 15.VII.1935), holotype ♀, allotype ♂ et 1 paratype; Rutshuru, riv. Musugereza (alt. 1.100 m., 4.VII.1935); Rutshuru, riv. Rodahira (alt. 1.200 m., 1.VII.1935); 7 exemplaires : 4 ♂♂, 3 ♀♀.

[*Microgaster integra* WILKINSON.]

*Microgaster integra* WILKINSON, Trans. Ent. Soc. Lond., LXXVII, 1929, p. 103, ♂.

DISTRIBUTION GÉOGRAPHIQUE : Uganda. *Hôte* et *cocon*, inconnus.

26. — **Microgaster epectinopsis** sp. n.

(Fig. 54-55.)

Espèce très semblable à *M. epectina*, dont elle possède la même coloration excepté : antennes brun marron; tegulae jaune-rouge testacé; tergite II entièrement rouge testacé.

♀. *Tête* : antennes légèrement plus grêles (fig. 54); 1<sup>er</sup> article du flagellum 3,5 fois plus long que large.

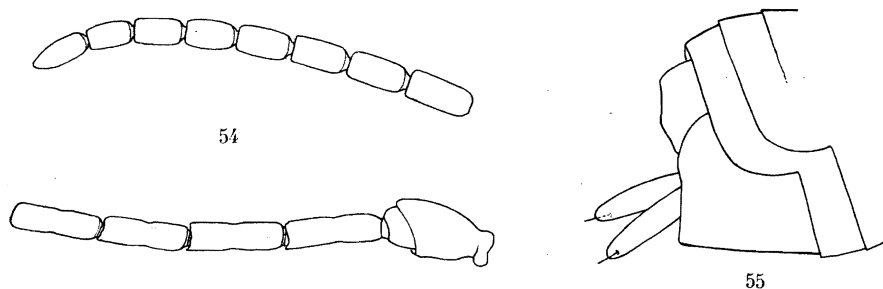
FIG. 54-55. — *Microgaster epectinopsis* sp. n. ♀.

FIG. 54. — Base et sommet de l'antenne. FIG. 55. — Apex de l'abdomen.

*Thorax* : propodeum aussi fortement ponctué que le mésonotum, mais plus densément, carène longitudinale médiane forte, droite et non crénelée sur les côtés.

*Ailes* : largeur du stigma, 1<sup>re</sup> abscisse de la radiale et 1<sup>re</sup> transverso-cubitale, de même longueur; récurrente et partie apicale de la 1<sup>re</sup> abscisse de la cubitale égales, à peine plus courtes que les précédentes; 1<sup>re</sup> transverso-cubitale sinuée, formant un angle presque droit avec la radiale et recevant la 2<sup>e</sup> transverso-cubitale hyaline un peu avant son milieu; stigma plus court que le métacarpe.

*Abdomen* : sculpture des trois tergites basilaires comme chez *M. epectina*, les sillons limitant l'aire médiane du tergite II, plus étroits cependant et petitement crénelés; longueur médiane du tergite I à peine plus longue que sa largeur basale; largeur apicale du II un peu plus grande que la largeur basale (25 : 24), 1,25 fois la longueur médiane et légèrement plus longue que la longueur latérale (25 : 23), aire médiane un peu plus de 3 fois plus longue que large à la base, effilée vers l'apex; tergite III ayant sa largeur apicale un peu plus courte que sa largeur basale, égale à la longueur médiane et 1,84 fois la longueur latérale (24 : 25 : 24 : 13); valves de la tarière comme celles de *M. epectina* (fig. 55).

Longueur : 3,25 mm.; ♂, inconnu.

DISTRIBUTION GÉOGRAPHIQUE : Kalondo, lac Ndaraga, Mokoto (alt. 1.750 m., 22-27.III.1934), holotype ♀; Rutshuru, riv. Rodahira (alt. 1.200 m., I.VII.1935); 2 exemplaires.

27. — *Microgaster epectina* sp. n.

(Fig. 56-58.)

Espèce semblable à *M. nigromacula*, à l'exception des caractères suivants :

♀ : hanches III entièrement noires; 3/5 basales des fémurs au lieu de la 1/2, anneau des tibia III occupant un peu plus de la 1/2 basale, tergite I et II entièrement, excepté l'aire médiane du II qui est assombrie

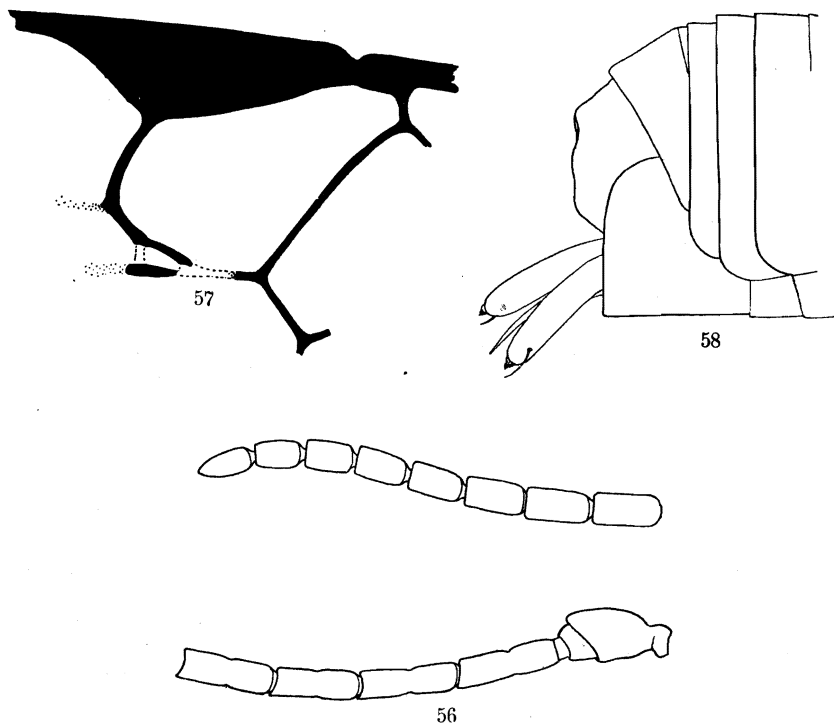
FIG. 56-58. — *Microgaster epectina* sp. n. ♀.

FIG. 56. — Base et sommet de l'antenne.

FIG. 57. — Détail de la nervation des ailes antérieures. FIG. 58. — Apex de l'abdomen.

apicalement, rouge testacé, cette coloration remplaçant le jaune pâle testacé pour toutes les parties désignées ainsi chez *M. nigromacula*; tegulae jaune rougeâtre; apex des ailes faiblement enfumé.

♀. *Tête* : antennes un peu comprimées; 1<sup>er</sup> article du flagellum 3,33 fois plus long que large, articles préapicaux 1,75 fois (fig. 56).

*Thorax* : propodeum plus fortement ponctué sur le disque que chez *M. nigromacula*.

*Ailes* (fig. 57) : 1<sup>re</sup> abcisse de la radiale un peu plus longue que la largeur du stigma et la longueur de la 1<sup>re</sup> transverso-cubitale, 1,44 fois plus longue que la partie apicale de la 1<sup>re</sup> abcisse de la cubitale; stigma distinctement plus court que le 2<sup>e</sup> metacarpe.

*Pattes III* : hanches fortement ponctuées sur la face supérieure à la base, moins densément que sur la face externe et pourvues d'une petite ponctuation secondaire dans les intervalles, rugueuses ailleurs. Proportions : hanches, 28/48; fémurs, 16/54; tibias, 11/60; tarses : I, 38; II, 15; III, 12; IV, 8; V, 9.

*Abdomen* : tergite I, 1/4 plus long que sa largeur apicale, lisse à aciculé dans la 1/2 basale, latéralement au sillon, très convexe et grossièrement ponctué dans les 2/3 apicaux; tergite II à largeur apicale 1,25 fois sa largeur basale, celle-ci égale à la longueur médiane et 1,2 fois sa longueur latérale (25 : 20 : 20 : 24), aire médiane lisse, longue et étroite, 4 fois plus longue que large à la base, effilée vers l'apex où ses bords se rejoignent, cette aire est délimitée latéralement par des sillons superficiels fortement divisés par des carènes inclinées vers l'avant, latéralement ce tergite porte de fines carènes longitudinales et une ponctuation éparsée et superficielle; tergite III à largeurs basale et apicale égales, 1,14 fois la longueur médiane, celle-ci est égale à la longueur médiane du II, fortement strié latéralement dans la 1/2 basale, lisse au milieu où il est à peine plus convexe et dans la 1/2 apicale où il porte quelques fines soies; valves de la tarière plus longues que chez *M. nigromacula*, presque aussi longues que la 1/2 des métatarses III, appendice environ 1/6 de la longueur de la valve (fig. 58).

Longueur : 3,3 mm.; ♂, inconnu.

DISTRIBUTION GÉOGRAPHIQUE : Burunga, Mokoto (alt. 2.000 m., 17-19.III. 1934), holotype ♀; Shamuheru, volcan Nyamuragira (alt. 1.820 m., 14-26.VI. 1935); 3 exemplaires.

## 28. — *Microgaster sulcata* sp. n.

(Fig. 59.)

Espèce ayant une grande analogie avec *M. nigromacula*, dont elle se sépare par les caractères suivants :

♀ : pièces buccales, jaune-rouge testacé, apex des mandibules à peine assombri; flagellum jaune rougeâtre latéralement; hanches III plus largement, fémurs III entièrement excepté l'apex, jaune testacé (tibias absents); 2 taches latérales arrondies dans la moitié apicale du tergite III; ailes entièrement hyalines; nervures près de la base, pâles, notamment la costale.

♂ : semblable à la ♀, excepté : antennes entièrement noir brunâtre; coloration testacée des pattes plus rougeâtre; propectus à la base tendant au rougeâtre; pattes I et II sauf les tarses, hanches III excepté une large bande noire sur la face supérieure, trochanters, trochantelles et fémurs des

pattes III (ces derniers excepté à l'apex) jaune-rouge testacé; tarsi I rougeâtres, article apical foncé; tarsi II, rouge brunâtre; un anneau dans le 1/3 basal des tibia III, rouge testacé; tibia III au delà de l'anneau, rougeâtres et confusément marqués de noir; tarsi III noir brunâtre; coloration testacée de l'abdomen rougeâtre, tergite I noirâtre au milieu et à l'apex sur une étendue variable. Le spécimen originaire de Mayumbu à le tergite I très foncé dans la partie médiane et les aires du II presque noires.

♂ ♀. *Tête* : 1<sup>er</sup> article du flagellum de la ♀, 4 fois plus long que large (16 : 4), 2,66 fois chez le ♂ (16 : 6), articles préapicaux 3 fois plus longs que larges.

*Thorax* : aire discale lisse des mésopleures plus réduite, ailleurs mésopleures plus fortement et plus largement striolés.

*Ailes* (fig. 59) : 1<sup>re</sup> abcisse de la radiale égale à la largeur du stigma et un peu plus longue que la 1<sup>er</sup> transverso-cubitale, l'angle formé par ces deux

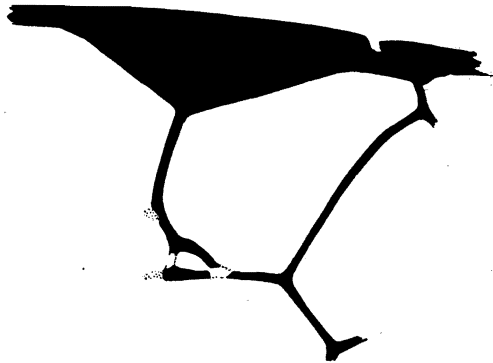


FIG. 59. — *Microgaster sulcata* sp. n.,  
détail de la nervation des ailes antérieures.

nervures beaucoup moins accusé que chez *M. nigromacula*, la dernière sinuée et recevant la 2<sup>e</sup> transverso-cubitale juste au delà du milieu; partie apicale de la 1<sup>re</sup> abcisse de la radiale égale aux 2/3 de la longueur de la récurrente; 1<sup>re</sup> abcisse de la cubitale beaucoup moins infléchie vers le stigma que chez *M. nigromacula*; stigma plus court que le métacarpe.

*Pattes III* : proportions : hanches, 22/54; fémurs, 16/58; tibia, 12/68; tarsi : I, 37; II, 16; III, 12; IV, 9; V, 9.

*Abdomen* : plus étroit que chez *M. nigromacula*; aire médiane du tergite II plus étroite chez la ♀, étroite et à bords parallèles chez le ♂; tergite III plus fortement striolé; tergite II latéralement ponctué-striolé, lisse et brillant sur une bande apicale réunie à l'aire médiane; valves de la tarière comme *M. nigromacula*.

Longueur : 3 à 3,3 mm.

DISTRIBUTION GÉOGRAPHIQUE : Rweru, volcan Mikeno, forêt de Bambous (alt. 2.400 m., 26-27.VII.1934), holotype ♀; Nyasheke, volcan Nyamuragira (alt. 1.820 m., 14-26.VI.1935), allotype ♂, 1 paratype; Mayumbu, volcan Nyamuragira (alt. 2.100 m., 14-26.VI.1935); 4 exemplaires : 3 ♂♂, 1 ♀.

29. — **Microgaster nigromacula** sp. n.

(Fig. 60-64.)

Les caractères de cette espèce correspondent à ceux de la redescription de *M. basimacula* (CAM.), faite par WILKINSON (1929), mais en diffère par les caractères suivants :

♀ : pièces buccales, rouge testacé; palpes, tegulae, pattes I et II entièrement (sauf l'onychium et une légère enfumure de l'article apical des tarsi), apex des hanches III sur une étendue variable, mais toujours plus largement sur la face inférieure, trochanters, trochantelles, 1/2 basale des fémurs, un large anneau atteignant le 1/3 apical des tibias et extrême base des métatarses des pattes III, jaune pâle testacé; éperons des tibias III, pâles; antennes et tarsi III ailleurs, bruns; tibias III ailleurs, noir brunâtre; nervures et stigma bruns; ailes hyalines, I fortement enfumées distalement, cette enfumure comprenant le tiers de la cellule radiale, près de la moitié de la 3<sup>e</sup> cellule cubitale et environ le quart de la 2<sup>e</sup> cellule discoïdale, II enfumées près de l'apex.

♀ : *Tête* : face ponctuée et aciculée portant une carène médiane mince dans la partie supérieure; clypéus faiblement différencié de la face; vertex moins aciculé et ponctué que la face; espace oculo-ocellaire égal à la distance séparant les ocelles postérieurs; 1<sup>er</sup> article du flagellum près de 4 fois plus long que large, les articles préapicaux environ 2 fois (fig. 60).

*Thorax* : mésonotum et disque du scutellum comme chez *M. basimacula*; disque du scutellum très convexe à apex distinctement caréné; mésopleures lisses et brillants discalement, plus étroitement et plus fortement ponctués que le mésonotum ailleurs et sans la petite aciculation intervallaire de celui-ci, la partie postérieure du cochléar sculptée superficiellement jusqu'au bord coxal; propodeum très superficiellement ponctué discalement, lisse ailleurs, divisé par une carène longitudinale médiane mince, crénelée de part et d'autre et une carène réticulaire latérale.

*Ailes* (fig. 61) : 1<sup>re</sup> abcisse de la radiale un peu plus courte que la largeur du stigma, égale à la 1<sup>re</sup> transverso-cubitale et formant avec celle-ci un angle obtus, leur point de jonction distinct; la 1<sup>re</sup> transverso-cubitale recevant la 2<sup>e</sup> en son milieu, deux fois plus longue que la partie apicale de la 1<sup>re</sup> abcisse de la cubitale et environ égale à la récurrente; stigma plus court que le métacarpe.

*Pattes III* : hanches avec une forte ponctuation irrégulière sur la partie supérieure à la base, très étroitement ponctuées vers l'apex, la ponctuation

de la face externe irrégulière et plus dense que sur la face supérieure à la base et accompagnée dans les intervalles par une petite ponctuation secondaire bien marquée; fémurs petitement ponctués, les pointillés réunis par un réseau de fines acicules. Proportions : hanches, 28/54; fémurs, 14/54; tibias, 11/64; tarses : I, 34; II, 14; III, 13; IV, 9; V, 8; le plus long éperon des tibias 5/7 et le plus court 3/7 de la longueur des métatarses.

*Abdomen* (fig. 62) : longueur médiane du tergite I, près de 1,5 fois plus longue que la largeur apicale et plus de 2 fois sa largeur basale (31 : 22 : 14),

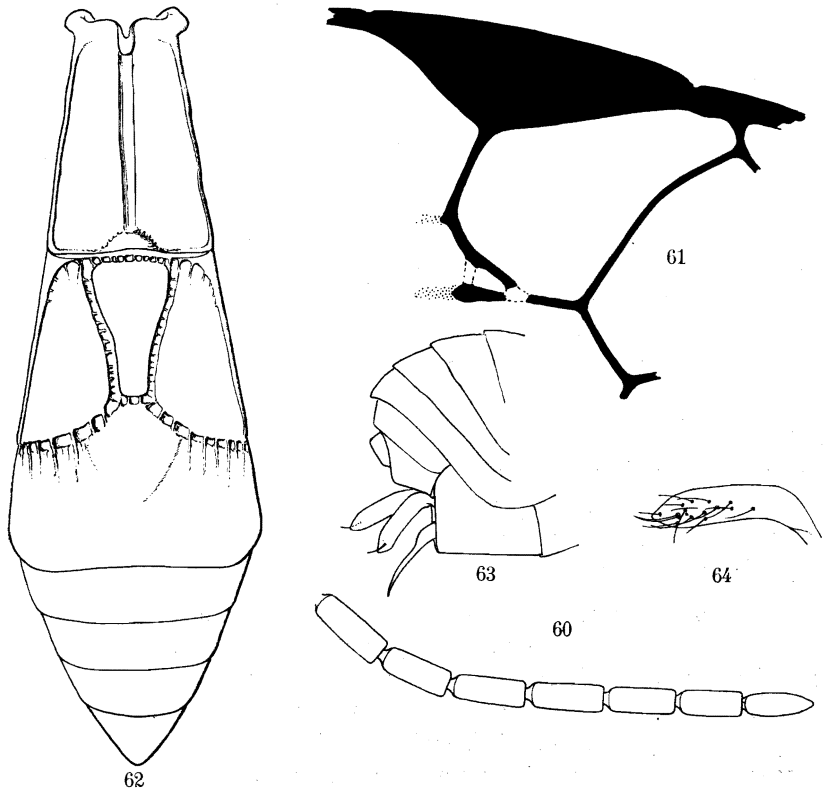


FIG. 60-64. — *Microgaster nigromacula* sp. n. ♀.

FIG. 60. — Sommet de l'antenne. FIG. 61. — Détail de la nervation des ailes antérieures.

FIG. 62. — Face supérieure de l'abdomen. FIG. 63. — Apex de l'abdomen.

FIG. 64. — Valve de la tarière.

à bords latéraux droits, sillon médian comme chez *M. basimacula*; largeur apicale du tergite II, 1,4 fois la largeur basale, 1,24 fois la longueur latérale et 1,47 fois la longueur médiane (31 : 22 : 25 : 21); largeur apicale du tergite III, 1,1 fois sa largeur basale, 1,6 fois sa longueur médiane (34 : 31 : 21), cette dernière 1,5 fois la longueur latérale; tergite I, lisse et brillant dans la 1/2 basale, qui est excavée au milieu, aciculée latéralement, ponctué-

aciculé dans la 1/2 apicale et très convexe latéralement au sillon médian; tergite II à aire médiane subtriangulaire, lisse et brillante, sillons la délimitant larges et finement crénelés, ailleurs faiblement réticulé à ponctué-aciculé; 2<sup>e</sup> suture fovéolée, la disposition de cette suture ainsi que celle des angles identiques à *M. basimacula*; tergite III à proéminence médiane subtriangulaire non délimitée par des sillons, disparaissant vers le milieu, latéralement à cette aire, le tergite est striolé avec quelques ponctuations très superficielles, cette sculpture n'atteint pas le bord apical; tergites suivants apparents, brillants et petitement ponctués latéralement; valves de la tarière pourvues d'un appendice sétiforme peu distinct (fig. 63-64).

Longueur : 3 à 3,7 mm.; ♂, inconnu.

DISTRIBUTION GÉOGRAPHIQUE : Forêt près de Kamatembe (alt. 2.200 m., 12.IV.1934, holotype ♀; Kamatembe, forêt près de la rivière Bishakishaki (alt. 2.100 m., 17.IV.1934); Kamatembe, forêt primaire (alt. 2.100 m., 15-20.IV.1934); vers Rweru, volcan Mikeno, forêt de Bambous (alt. 2.400 m., 3.VII.1934); Ruhengeri, Moruguhu (alt. 1.800-1.825 m., 6.II.1935); Nyasheke, volcan Nyamuragira (alt. 1.800 m., 14-26.VI.1935); Mayumbu, volcan Nyamuragira (alt. 2.100 m., 14-26.VI.1935); Mushumangabo, volcan Nyamuragira (alt. 2.075 m., 14-26.VI.1935); Shamuheru, volcan Nyamuragira (alt. 1.843 m., 15.VI.1935); 9 exemplaires.

a) ***Microgaster nigromacula obscurior* ab. n.**

♂ ♀ : semblables à la description de la ♀ de *M. nigromacula*, en différent par la coloration des tergites I et II, qui sont d'un rouge obscur à noirâtre, excepté l'aire médiane du II qui est noire et souvent l'apex du tergite I; enfumure distale des ailes moins forte; tergite I aciculé dans les 2/3 basilaires, aciculé-ponctué dans le 1/3 apical; aire médiane du tergite II un peu aciculée à la base; tergite III, un peu plus fortement striolé.

Longueur : 3 mm.

DISTRIBUTION GÉOGRAPHIQUE : Mushumangabo, volcan Nyamuragira (alt. 2.075 m., 14-26.VI.1935), holotype ♀; Burunga, Mokoto (alt. 2.000 m., 17.III.1935); 4 exemplaires : 3 ♂♂, 1 ♀.

Groupe TETRA.

Deuxième cellule cubitale (aréole), constituée par quatre nervures, la 2<sup>e</sup> abscisse de la radiale, plus ou moins courte, participant toujours à sa formation et recevant la 2<sup>e</sup> transverso-cubitale; ponctuation du mésonotum jamais accompagnée d'une petite aciculation intervallaire; disque du scutellum non bordé à l'apex; valves de la tarière toujours dépourvues d'un appendice préapical.

30. — *Microgaster vacillatropsis* sp. n.

(Fig. 65-68.)

Espèce semblable à *M. vacillatrix* WILKN., excepté :

♀ : thorax entièrement noir; scapes bruns; tegulae noires; toutes les pattes (excepté les 2/3 apicaux des tibias III et tarsi III qui sont noirs) le tergite I seulement, les parties latérales membraneuses des tergites I et II, tous les sternites y compris l'hypopygium, rouge testacé; palpes et éperons des tibias III, rougeâtres; ailes un peu plus fortement enfumées.

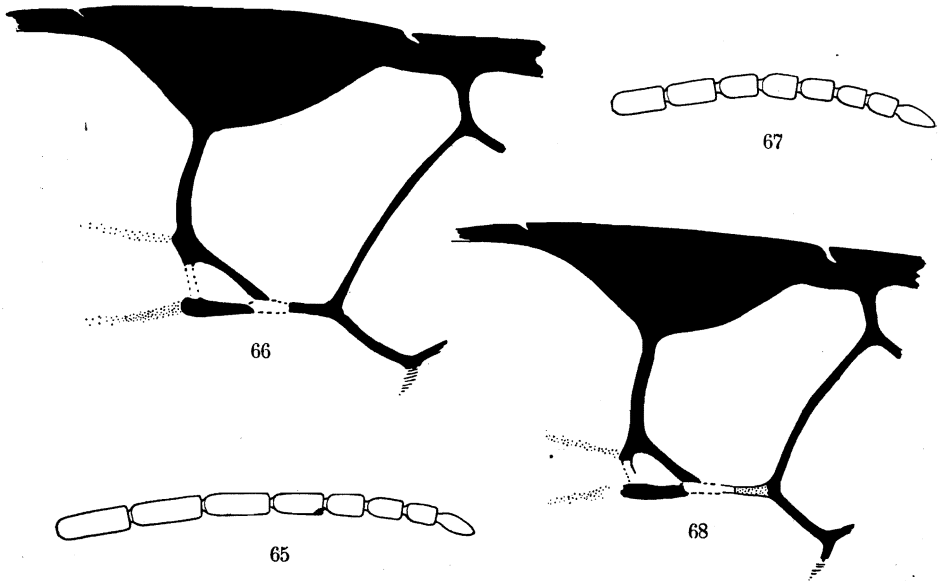
FIG. 65-66. — *Microgaster vacillatrix* WILKINSON ♀.

FIG. 65. — Sommet de l'antenne.

FIG. 66. — Détail de la nervation des ailes antérieures.

FIG. 67-68. — *Microgaster vacillatropsis* sp. n. ♀.

FIG. 67. — Sommet de l'antenne.

FIG. 68. — Détail de la nervation des ailes antérieures.

Articles apicaux du flagellum courts à partir du XI (chez *vacillatrix* à partir du XIII, voir fig. 65-67); ponctuation antérieure du mésonotum peut-être un peu plus faible; tergite abdominal I absolument lisse, poli; tergite II poli et ne portant que quelques soies fines vers l'apex, sillons latéraux de ce tergite et 2<sup>e</sup> suture, lisses; sa longueur médiane 1/4 plus courte que la largeur apicale du I, 3,66 fois plus courte que sa propre largeur apicale et 1,66 fois la longueur du III (6 : 8 : 22 : 10); valves de la tarière un peu plus courtes que les tibias III.

Longueur : 2,5 mm.; ♂, inconnu.

DISTRIBUTION GÉOGRAPHIQUE : Rutshuru (alt. 1.285 m., 11.VII.1935); 1 exemplaire.

AFFINITÉS : Cette espèce présente une grande analogie avec *M. vacillatrix* WILKN., elle s'en distingue particulièrement par l'absence de toute trace de sculpture sur les tergites I et II ainsi que par la coloration. D'après le mode de classification préconisé ici, ces deux espèces sont nettement séparées par la non-participation de la 2<sup>e</sup> abcisse de la radiale à la constitution de la 2<sup>e</sup> cellule cubitale chez *M. vacillatrix* (fig. 66-68).

31. — **Microgaster atropa** sp. n.

(Fig. 69-73.)

♀ : noire; pièces buccales et palpes, pattes I et II entièrement (tarses II un peu plus sombres), apex et moitié apicale des hanches (plus largement à la partie inférieure), trochanters, trochantelles, fémurs, tibias (ces derniers à peine assombris à l'apex) et éperons des tibias des pattes III, tous les segments de l'abdomen excepté les tergites I et II et un obscurcissement des tergites apicaux, tarière, rouge testacé; coloration noire du tergite II dépassant légèrement les limites de la partie sculptée; tarses III et onychiums des pattes I et II, rouge testacé foncé à brun noirâtre; tegulae jaunes ou rouge testacé; nervation alaire et stigma, brun rougeâtre, nervures costale, médiane et anale, plus claires près de la base; palpes, éperons des tibias III et bords latéraux membraneux des tergites I et II, parfois d'un rouge testacé légèrement plus clair; ailes hyalines, très faiblement enfumées entièrement, avec un nuage légèrement plus sombre et mal défini, allant de la 2<sup>e</sup> cellule cubitale au bord postérieur, aux ailes I.

♂ : mêmes caractères de coloration que la ♀, excepté abdomen rouge sombre (sauf les tergites I et II), parfois le tergite III est rouge testacé entièrement ou partiellement.

♂ ♀. *Tête* : face densément et très finement ponctuée, vaguement carénée au milieu; clypéus différencié de la face, plus brillant et moins fortement ponctué que celle-ci; ostioles faciales à égale distance des yeux et de l'apex du clypéus; vertex à peu près imponctué; occiput ponctué plus ou moins comme la face; ocelles postérieurs beaucoup plus près l'un de l'autre que des yeux (5 : 9); antennes plus longues que le corps, 1<sup>er</sup> article du flagellum 4 fois plus long que large (16 : 4), articles préapicaux 1,5 à 1,75 fois chez la ♀, le 1<sup>er</sup> article environ 3 fois plus long que large chez le ♂, dont les articles apicaux sont amincis, les deux derniers proportionnellement plus courts que les précédents, XIII, 4/16, XIV, 4/13, XV, 3/9 et XVI, 3/10 (fig. 69-70).

*Thorax* : mésonotum brillant, ponctué, assez régulièrement (degré 3), plus densément à l'apex; sillon préscutellaire arqué, assez étroit, jamais très fortement crénelé; disque du scutellum plat, brillant, portant quelques imperceptibles pointillés; partie lisse des axillae assez large à bord antérieur

crénélé; mésopleures ponctués antérieurement un peu plus éparsément que le mésonotum, lisses ailleurs, cochléar marqué d'une excavation; métapleures lisses excepté près du bord coxal; propodeum brillant, à forte ponctuation

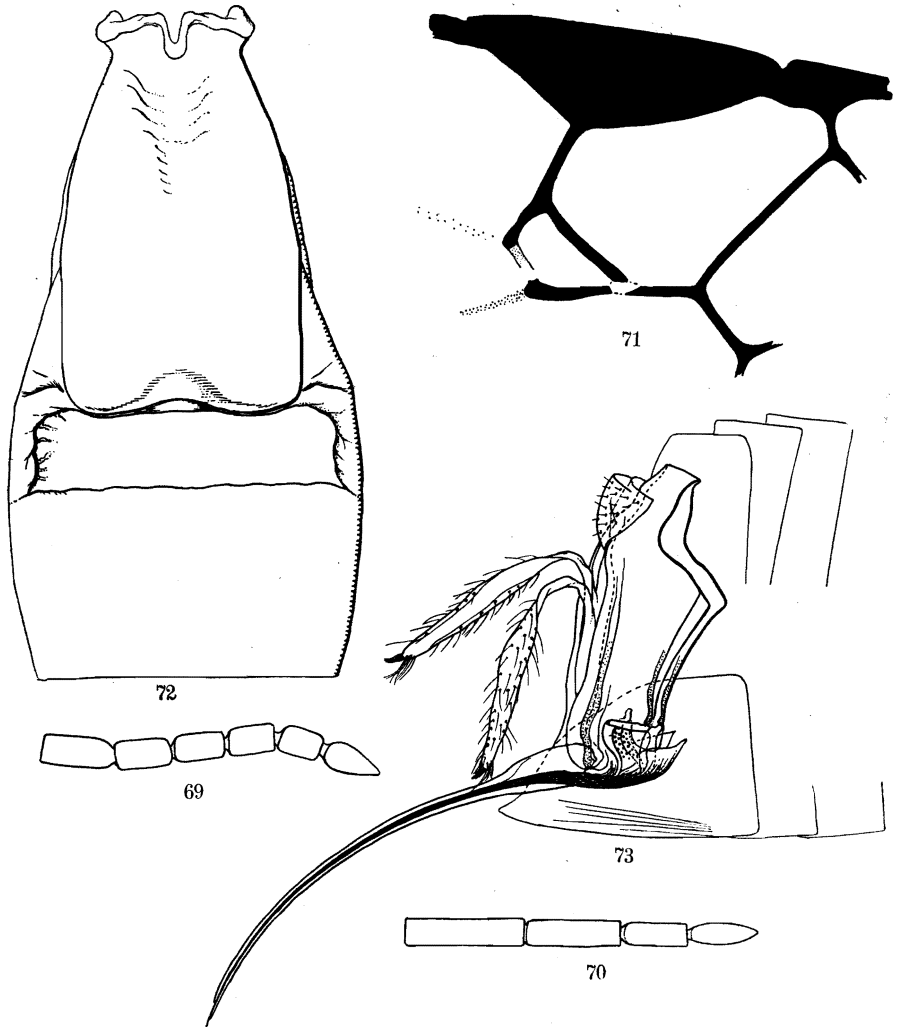


FIG. 69-73. — *Microgaster atropa* sp. n.

FIG. 69. — Sommet de l'antenne ♀. FIG. 70. — Sommet de l'antenne ♂.

FIG. 71. — Détail de la nervation des ailes antérieures.

FIG. 72. — Détail des trois premiers tergites abdominaux.

FIG. 73. — Hypopygium, tarière et ses valves.

(degré 4), irrégulièrement placée, plus éparsément à la base, grossièrement ruguleux contre la carène longitudinale médiane, dans le 1/4 apical et sur les côtés.

*Ailes* (fig. 71) : 1<sup>re</sup> abcisse de la radiale plus courte que la largeur du stigma, qui est elle-même plus courte que la longueur de la 1<sup>re</sup> transverso-cubitale; aréole grande, la 2<sup>e</sup> abcisse de la radiale à peu près dans le prolongement de la 1<sup>re</sup> abcisse et un peu plus longue que la moitié de celle-ci; la 2<sup>e</sup> transverso-cubitale faiblement pigmentée antérieurement; récurrente un peu plus longue que la partie apicale de la 1<sup>re</sup> abcisse de la cubitale, mais plus courte que la 1<sup>re</sup> transverso-cubitale; stigma à peine plus court que le métacarpe.

*Pattes III* : hanches régulièrement et petitement ponctuées (degré 2) sur la face supérieure, avec quelques rares pointillés (degré 1) à lisses sur la face externe; fémurs densément et petitement ponctués. Proportions : hanches, 24/45; fémurs, 14/45; tibias, 10/60; tarses : I, 32; II, 14; III, 11; IV, 8; V, 10; tarses des pattes I et II à articles intermédiaires courts, l'article apical et l'onychium comme aux III, robustes; éperons des tibias III courts, le plus long environ la moitié et le plus court le tiers de la longueur des métatarses.

*Abdomen* (fig. 72) : longueur médiane du tergite I, 1,7 fois plus longue que sa largeur apicale et triple de sa largeur à l'étranglement basal (34 : 20 : 11); ses bords latéraux, après l'étranglement basal, divergents jusqu'à la 1/2 environ, ensuite parallèles jusqu'à l'apex émarginé, dont les angles sont largement arrondis; replié à la moitié de sa longueur, ce tergite est excavé à la base, assez plat dans la moitié apicale, excepté une faible dépression près du bord apical de chaque côté d'un tubercule médian lisse et brillant, légèrement en relief, téguement entièrement striolé longitudinalement à très finement réticulé avec quelques punctuations, excepté médialement où il est plus ou moins lisse et plus brillant; tergite II de longueur un peu variable, en moyenne 2,5 fois plus court que la largeur apicale du I (7 : 8 ou 9 : 20) et un peu moins de la moitié de la longueur du III, déprimé et à sculpture rugueuse de chaque côté d'une région médiane plus ou moins lisse et un peu convexe, orné d'une rangée de petits pointillés sétigères dans la moitié apicale; 2<sup>e</sup> suture bien marquée et droite; tergites III et suivants, brillants, petitement et très éparsement ponctués entièrement; hypopygium membraneux à apex aigu; valves de la tarière longues, sans appendice (fig. 73), un peu plus courtes que les fémurs III, mais distinctement plus longues que les métatarses III.

Longueur : 3,5 mm.

DISTRIBUTION GÉOGRAPHIQUE : Nyakibumba, près de Kikere (alt. 2.000 m., 9.VII.1934), holotype ♀ et 1 paratype; Kamatembe, riv. Bishakishaki (alt. 2.100 m., 7-23.I.1935), allotype ♂, 1 paratype; Nyarusambo, Kikere (alt. 2.226 m., 28-29.VI.1935); Kashwa, entre Ngesho et Bishakishaki (alt. 2.000 m., 7-23.I.1935); Tshengelero, près de Munagana (alt. 1.750 m., 21.VIII.1934); Kitondo, près de Gandjo (alt. 2.000 m., 7-23.I.1935); 11 exemplaires : 3 ♂♂, 8 ♀♀.

**AFFINITÉS** : Cette espèce aboutit, dans la clef de WILKINSON, au couplet 15, mais ne concorde à aucune des espèces qui y figurent [*eurygaster* (CAM.), *psarae* WILKN.]. Dans la clef de MUESEBECK des espèces néarctiques, elle se rencontre avec *M. melligaster* PROV.

32. — **Microgaster mikeno** sp. n.

(Fig. 74-79.)

♂ ♀ : noirs; tegulae, pattes I et II (excepté les tarsi I et l'extrême apex des tibiae II ainsi que les tarsi II), partie inférieure et apex des hanches, 2/3 basales des fémurs, un large anneau dans la moitié basale des tibiae des pattes III, environ les 2/3 basales des valves de la tarière, bords latéraux membraneux des tergites I et II, sternites de la base, nervures costale et médiane à la base, rouge testacé; flagellum noir brunâtre; extrême apex des tibiae et tarsi II, brunâtres, tarsi I un peu plus clairs; palpes et épérons des tibiae III, pâles; ailes hyalines, nervures et stigma, bruns.

♂ ♀. *Tête* (fig. 74) : tête moins transverse que l'habituelle; face fortement convexe, mate, densément et fortement ponctuée, rugueuse, portant une carène longitudinale médiane, lisse, brillante et superficielle; clypéus

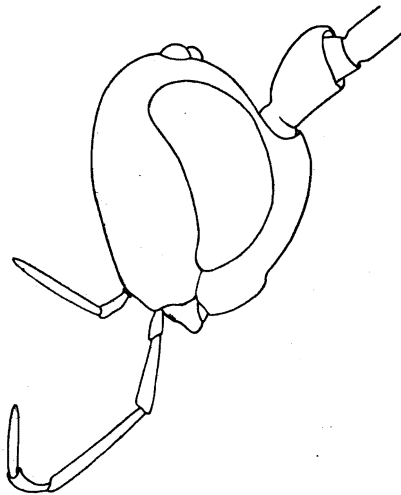


FIG. 74. — *Microgaster mikeno* sp. n., tête, vue de profil.

différencié de la face par sa convexité; ostioles faciales à égale distance de l'apex du clypéus et des yeux; vertex long, assez plat, mat, un peu moins densément et moins fortement ponctué que la face, comme l'occiput; tempes à ponctuation plus forte que le vertex; stemmaticum presque lisse; espace oculo-oculaire à peu près égal à la distance qui sépare les ocelles postérieurs; 1<sup>er</sup> article du flagellum 3 fois plus long que large, seule le pénultième article à peine plus long que large chez la ♀, plus de 3 fois chez le ♂ (fig. 75-76).

*Thorax* : mésonotum brillant, à partie médiane légèrement convexe et forte ponctuation (degré 5), les pointillés séparés en moyenne par la moitié de leur propre diamètre, plus denses antérieurement et près du sillon

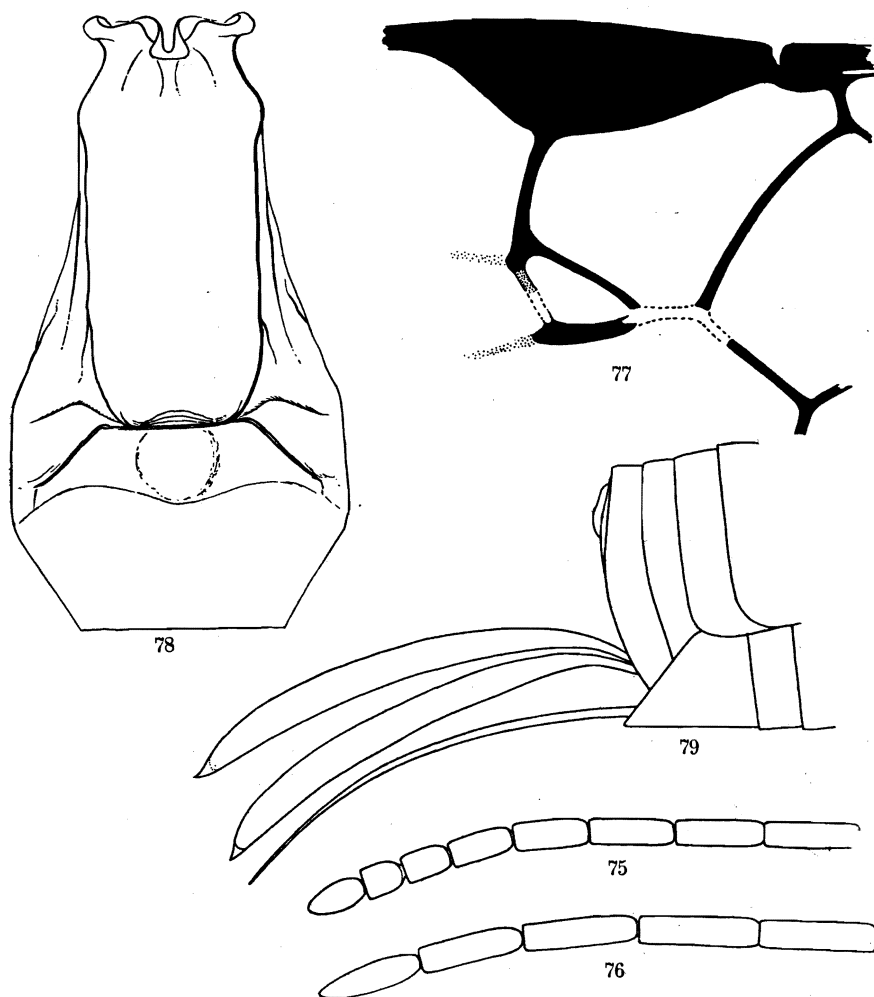


FIG. 75-79. — *Microgaster mikenos* sp. n.

FIG. 75. — Sommet de l'antenne ♀. FIG. 76. — Sommet de l'antenne ♂.

FIG. 77. — Détail de la nervation des ailes antérieures.

FIG. 78. — Détail des trois premiers tergites abdominaux.

FIG. 79. — Apex de l'abdomen.

préscutellaire, parties latérales à ponctuation aussi forte mais distinctement plus espacée; sillon préscutellaire légèrement arqué, étroitement crénelé; disque du scutellum brillant, à faible convexité et apex aigu, de longueur

médiane égale à la largeur basale et marqué de quelques gros pointillés irrégulièrement placés; mésopleures lisses et brillants discalement, fortement ponctués antérieurement et coupés de stries transversales arquées; métapleures lisses antérieurement, grossièrement ponctués postérieurement; propodeum mat, rugueux, divisé par une forte carène longitudinale médiane plus ou moins courtement crénelée de chaque côté, latéralement et parallèlement à la carène latérale existe un sillon irrégulier, brillant, mais peu distinct.

*Ailes* (fig. 77) : 1<sup>re</sup> abcisse de la radiale plus courte que la largeur du stigma et très nettement plus courte que la 1<sup>re</sup> transverso-cubitale, celle-ci plus ou moins égale à la récurrente; 2<sup>e</sup> transverso-cubitale un peu plus longue que la partie apicale de la 1<sup>re</sup> abcisse de la cubitale qui n'a, elle-même, pas tout à fait 1,5 fois la longueur de la partie supérieure de la basale; stigma plus court que le métacarpe.

*Pattes III* : hanches ponctuées-aciculées en dessus, petitement ponctuées sur la face externe; fémurs régulièrement et densément ponctués. Proportions : hanches, 22/41; fémurs, 18/60; tibias, 10/75; tarses : I, 38; II, 16; III, 12; IV, 9; V, 10; le plus long éperon des tibias un peu plus de la moitié et le plus court un peu moins du tiers de la longueur des métatarses.

*Abdomen* (fig. 78) : tergite I entièrement rugueux et un peu mat, à peine lisse et brillant au milieu à l'extrême base, faiblement recourbé et à peine proéminent dans la partie apicale, sa longueur médiane 4 fois sa largeur apicale, 3 fois sa largeur basale et environ 2 fois sa plus grande largeur située au 1/5 basal (33 : 8 : 11 : 16), bords latéraux divergents à la base, après une incurvation, parallèles jusque près de l'apex tronqué et à angles arrondis; tergite II également un peu mat, faiblement sculpté, un peu proéminent au milieu, ses sillons latéraux, largement divergents, sont peu marqués, sa longueur médiane à peine plus courte que la longueur apicale du I, près de 1/3 de sa propre largeur apicale et un peu plus de la moitié de la longueur du III (7 : 8 : 24 : 11); 2<sup>e</sup> suture faible, généralement peu distincte, marquant cependant une forte sinuosité; tergite III plus satiné que brillant, portant l'habituelle petite ponctuation localisée à l'apex et sur les côtés, laissant ainsi une large aire obtriangulaire lisse à la base; hypopygium aigu non membraneux; valves de la tarière acinaciformes de la longueur des tibias III (fig. 79). Chez le ♂, le tergite I est un peu plus court et plus étroit (30 : 7 : 11 : 14), la longueur médiane du II un peu plus longue que la largeur apicale du I et la moitié de sa propre largeur apicale entre les sillons latéraux (8 : 16), ceux-ci mieux marqués et divergents à un angle d'environ 90°; 2<sup>e</sup> suture obsolète.

Longueur : 3,2 à 3,6 mm. -

DISTRIBUTION GÉOGRAPHIQUE : Rweru, volcan Mikeno, forêt de Bambous (alt. 2.400 m., 26-27.VII.1934), holotype ♀ et allotype ♂; vers Rweru, volcan

Mikeno, forêt de Bambous (alt. 2.400 m., 3 et 26.VII.1934); Tshamugussa, Bweza, forêt de Bambous (alt. 2.250 m., 9.VIII.1934); 7 exemplaires : 4 ♂♂, 3 ♀♀.

OBSERVATIONS : Cette espèce est particulièrement bien caractérisée par la forme de la tête plus globuleuse que l'habituelle, la proéminence et la rugosité de la face, la longueur des valves de la tarière et le sillon mésopleural qui, cependant, ne peut être comparé au sternaux des *Microplitis*; la taille des hanches postérieures et la longueur des éperons des tibias ne permettent d'ailleurs aucune confusion.

L'hôte de *M. mikeno* paraît évidemment appartenir à la faunule des Bambous.

### 33. — *Microgaster superba* sp. n.

(Fig. 80-82.)

♀ : rouge testacé; tête (excepté parties buccales), antennes, tergites I et II, enfumure sur les tergites suivants, extrême base des hanches, apex des fémurs et des tibias III, quelques traces sur le thorax, partie lisse des axillae, carènes du propodeum, noirs; parties buccales, pattes I, II et III (ces dernières ailleurs), jaune-rouge testacé; palpes et éperons des tibias III, pâles; stigma et nervures (sauf costale, médiane et anale, qui sont incolores à la base), tarses III et valves de la tarière, bruns; stigma faiblement éclairci dans l'angle proximal; ailes légèrement enfumées entièrement.

♀. *Tête* : caractères de la tête comme ceux de *M. atropa*, excepté : antennes de la longueur du corps, à peine amincies et moniliformes à l'apex, 1<sup>er</sup> article du flagellum 3,5 fois plus long que large, articles X-XV à peine plus longs que larges et légèrement pédicellés (fig. 80).

*Thorax* : mésonotum plus distinctement ponctué que chez *M. atropa*; propodeum lisse ne portant que quelques très rares pointillés superficiels de part et d'autre de la carène longitudinale médiane.

*Ailes* : nervation identique à celle de *M. atropa*, mais la 2<sup>e</sup> abcisse de la radiale distinctement plus courte, parfois de moitié, que la 2<sup>e</sup> transverso-cubitale.

*Pattes III* : hanches portant une aire à ponctuation irrégulière sur la face supérieure à la base, lisses ailleurs. Proportions : hanches, 24/40; fémurs, 14/50; tibias, 10/60; tarses : I, 28; II, 16; III, 10; IV, 7; V, 9, article apical des tarses moins volumineux que chez *M. atropa*; le plus long éperon des tibias un peu plus long que la moitié et le plus court le tiers de la longueur des métatarses.

*Abdomen* (fig. 81) : longueur médiane du tergite I environ 2,5 fois la largeur apicale et un peu moins de 2 fois la largeur basale (23 : 9 : 12) sa plus grande largeur, située au quart basal, 1/4 plus longue que cette dernière, ses bords latéraux divergents à la base sont ensuite à peu près parallèles jus-

qu'au quart apical où ils convergent légèrement jusqu'à l'apex, celui-ci est droit, à angles arrondis et précédé de deux fossettes latérales, tégument aciculé à la base, ruguleux surtout latéralement et ponctué, plus lisse dans la partie médiane de la moitié apicale où apparaissent quelques ponctuations superficielles, moitié basale marquée d'un sillon lisse; longueur médiane du tergite II,  $\frac{2}{3}$  de la largeur apicale du I, sa forme rappelant assez celle du

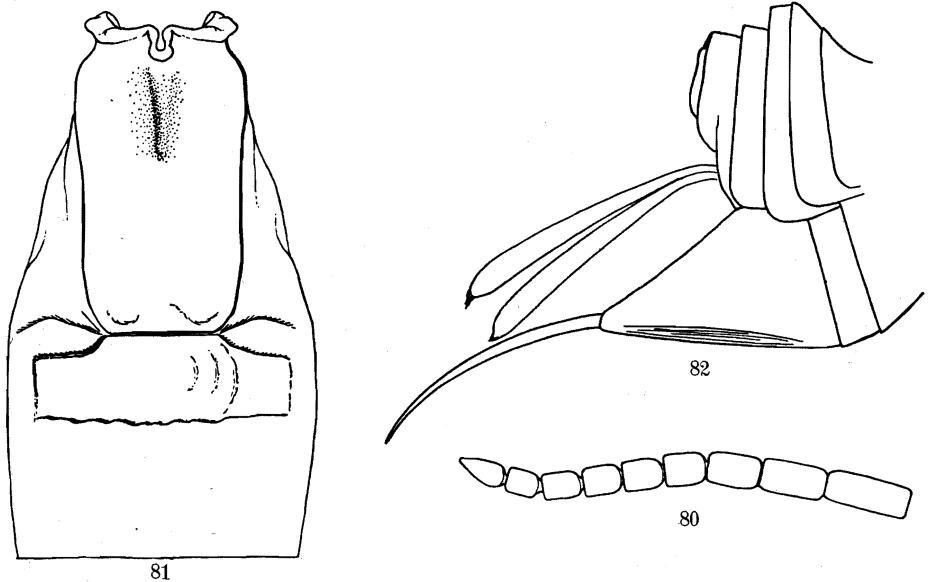


FIG. 80-82. — *Microgaster superba* sp. n. ♀.

FIG. 80. — Sommet de l'antenne.

FIG. 81. — Détail des trois premiers tergites de l'abdomen.

FIG. 82. — Sommet de l'abdomen.

tergite II de *M. sylleptae* DE S., c'est-à-dire, déprimé, un peu proéminent et plus lisse discalement, ruguleux latéralement avec les bords antérieurs arqués latéralement; 2<sup>e</sup> suture droite; tergite III près de 2,33 fois la longueur du II, lisse et brillant et portant, comme les suivants, l'habituelle petite ponctuation; hypopygium membraneux, à apex aigu; valves de la tarière, étroites, leur longueur égale aux  $\frac{2}{3}$  de celle des tibiae III, sans appendice (fig. 82).

Longueur : 2,8 mm.; ♂, inconnu.

DISTRIBUTION GÉOGRAPHIQUE: Mayumbu, volcan Nyamuragira (alt. 2.100 m., 14-26.VI.1935), holotype ♀ et paratypes; 3 exemplaires.

AFFINITÉS : Par sa coloration *M. superba* rappelle l'espèce australienne *M. tearae* WILKN. dont elle diffère notamment par la ponctuation plus faible du mésonotum et la sculpture des tergites I et II; elle s'apparente, par ailleurs, à *M. sylleptae* DE S. et *M. atropa* : de la 1<sup>re</sup> par la forme du 1<sup>er</sup> tergite

dont les bords latéraux sont plus parallèles et par la longueur du tergite II; de la 2<sup>e</sup>, par la forme du 1<sup>er</sup> tergite, la ponctuation du mésonotum; de ces deux espèces par sa coloration et en particulier par les articles apicaux des antennes, très courts.

34. — **Microgaster sylleptae** DE SAEGER.

*Microgaster sylleptae* DE SAEGER, Rev. Zool. Bot. Afr., 1942, XXXV, p. 335, ♂ ♀.

DISTRIBUTION GÉOGRAPHIQUE : Congo Belge : Eala (Équateur); Rutshuru (Kivu); coll. DE WITTE : Rutshuru (alt. 1.285 m., 22.V, 4.VI, 16.X.1934); Rutshuru, riv. Kanzarue (alt. 1.200 m., 16.VII.1935); Rutshuru, riv. Musugereza (alt. 1.100 m., 10.VII.1935); Rutshuru, riv. Lubirizi (alt. 1.285 m., 13.VII.1935); Rutshuru, riv. Fuku (alt. 1.250 m., 5.VII.1935); Kanyabayongo, Kabasha (alt. 1.760 m., 11.XII.1934); Mayumbu, volcan Nyamuragira (alt. 2.100 m., 14-26.VI.1935); Rweru, volcan Mikeno, forêt de Bambous (alt. 2.400 m., 26-27.VII.1934); Nyabirehe, volcan Karisimbi (alt. 2.000 m., 22.11.1935); Shamuheru, volcan Nyamuragira (alt. 1.843 m., 15.VI.1935); mont Tamira, près du lac Gando, Ruanda (alt. 2.600 m., 11.III.1935); Kalondo, lac Ndaraga, Mokoto (alt. 2.000 m., 17-19.III.1934); Kundhuru ya Tshuve, col Gahinga-Sabinyo, Ruanda, forêt de Bambous (alt. 2.600 m., 15.IX.1934); Ilega, volcan Karisimbi, Ruanda (alt. 2.400 m., 12.III.1935); Burunga, Mokoto (alt. 2.000 m., 17-19.III.1934); Nyasheke, volcan Nyamuragira (alt. 1.820 m., 14-26.V.1935); Gitebe, volcan Nyamuragira (alt. 2.324 m., 14-26.V.1935); Ruhengeri, riv. Penge, Ruanda (alt. 1.800 m., 30-31.VIII.1934); Ruhengeri, riv. Mugara-Kigombe, Ruanda (alt. 1.800-1.825 m., 6.II.1935); forêt près du mont Kamatembe (alt. 2.200 m., 12.IV.1934); Mushumangabo, volcan Nyamuragira (alt. 2.075 m., 14-26.VI.1935); Kibati (alt. 1.900 m., 10-12.I.1934); lac Gando, volcan Karisimbi, Ruanda (alt. 2.400 m., 9.III.1935); Nzulu, lac Kivu (alt. 1.500 m., 6-7.II.1934); Rwindi (alt. 1.000 m., 10-24.XI.1934); 75 exemplaires : 50 ♂♂, 25 ♀♀.

VARIABILITÉ : Cette espèce fut établie d'après des spécimens obtenus d'un élevage. Les exemplaires de la collection sous revue ont des origines très diverses et leur examen permet de constater quelques variations. Les hanches postérieures, de la majorité d'entre eux, sont rouge sombre presque noir comme chez l'allotype, seul l'apex est jaune ou rouge testacé sur une plus ou moins grande étendue. Un exemplaire originaire de Kanyabayongo est conforme au type originaire de Rutshuru et possède les hanches postérieures entièrement jaunes. Le 1<sup>er</sup> tergite abdominal est entièrement noir chez presque tous les spécimens. Nombre d'exemplaires ♂♂ ont la coloration noire du thorax tendant au rouge testacé dans certaines parties vers la base et principalement les aires transcutales. Les tegulae sont quelquefois jaune testacé.

Il y a lieu de noter une certaine variation de la longueur médiane du 2<sup>e</sup> tergite, souvent beaucoup plus courte que chez l'holotype ♀, n'atteignant parfois qu'à peine le quart de la largeur apicale du 1<sup>er</sup> tergite, ce dernier est quelquefois plus étroit à l'apex ou moins long, mais ces deux pièces importantes conservent, néanmoins, leur configuration générale telle que je l'ai décrite. Dans cette description, il n'y a pas lieu de tenir compte des deux carènes secondaires placées de chaque côté de la carène longitudinale médiane du propodeum, qui peut être complète, ni de l'aire médiane déprimée avant l'apex du 1<sup>er</sup> tergite, caractères qui s'avèrent inconstants. La sculpture de ce tergite, à la base, est également variable, la partie lisse pouvant être plus ou moins étendue et chez quelques ♂♂ il est même entièrement lisse ou à peine rugueux latéralement.

**BIOLOGIE :** *M. sylleptae* a été obtenu à Rutshuru par l'entomologiste Ghesquière, d'un élevage de la Pyraustine *Syllepta sabinusalis* (Wlk.) sur la Ramie (*Boehmeria nivea*). Cette Pyrale polyphage est, d'après cet auteur (1942), commune à l'Équateur sur la même Urticacée et fut fréquemment rencontrée dans les galeries forestières des montagnes du Kivu (alt. 1.300 à 1.600 m.) sur une Urticacée grimpante, *Urera hypsilodendron* et sur une Tiliacée du genre *Triumfetta*. D'après les récoltes faites au Parc National Albert, où ce *Microgaster* est évidemment largement répandu, nous voyons qu'il fut capturé jusqu'à 2.600 m. d'altitude. Les stations où il fut récolté sont également très diverses.

### 35. — *Microgaster ruandana* sp. n.

(Fig. 83-86.)

♀ : noire; pattes I et II (tarses un peu enfumés), pattes III (excepté, apex des hanches sur une plus ou moins grande étendue, parfois presque entièrement, une tache à l'extrême apex des fémurs, une très légère enfumure apicale aux tibias et les tarses), tégulae et sternites basilaires, parfois des taches sur l'hypopygium, rouge testacé; tarses III, brun rougeâtre, palpes excepté l'article basal et éperons des tibias III, jaune testacé pâle; article basal des palpes, sombre; parties buccales rougeâtres; stigma et nervures bruns, médiane et anale plus claires à la base; ailes hyalines.

♂ : mêmes colorations que la ♀, excepté : palpes sombres entièrement; base des hanches II, noire. Un spécimen présente un fort obscurcissement des hanches I et II et possède des parties très assombries aux trochanters et aux fémurs.

♂ ♀. *Tête* : face petitement et peu densément ponctuée; clypéus différencié de la face; ostioles faciales à égale distance des yeux et de l'apex du clypéus; vertex et occiput très finement ponctués, presque lisses; espace oculo-ocellaire plus grand que la distance qui sépare les ocelles postérieurs; antennes de la ♀ à peu près de la longueur du corps, plus longues chez le ♂; 1<sup>er</sup> article du flagellum 3 fois plus long que large, les articles préapicaux 1, 2

à 1,5 fois chez la ♀ (fig. 83), 1<sup>er</sup> article environ 2 fois plus long que large chez le ♂, articles apicaux absents.

*Thorax* : mésonotum brillant, assez étroitement ponctué (degré 3), plus densément à l'apex; sillon préscutellaire légèrement arqué, irrégulièrement crénelé; disque du scutellum brillant, faiblement convexe, à ponctuation rappelant celle du mésonotum mais très espacée et superficielle, parfois presque lisse; mésopleures petitement ponctués, lisses discalement, cochléar superficiel, marqué d'une fossette; propodeum lisse et brillant dans le tiers

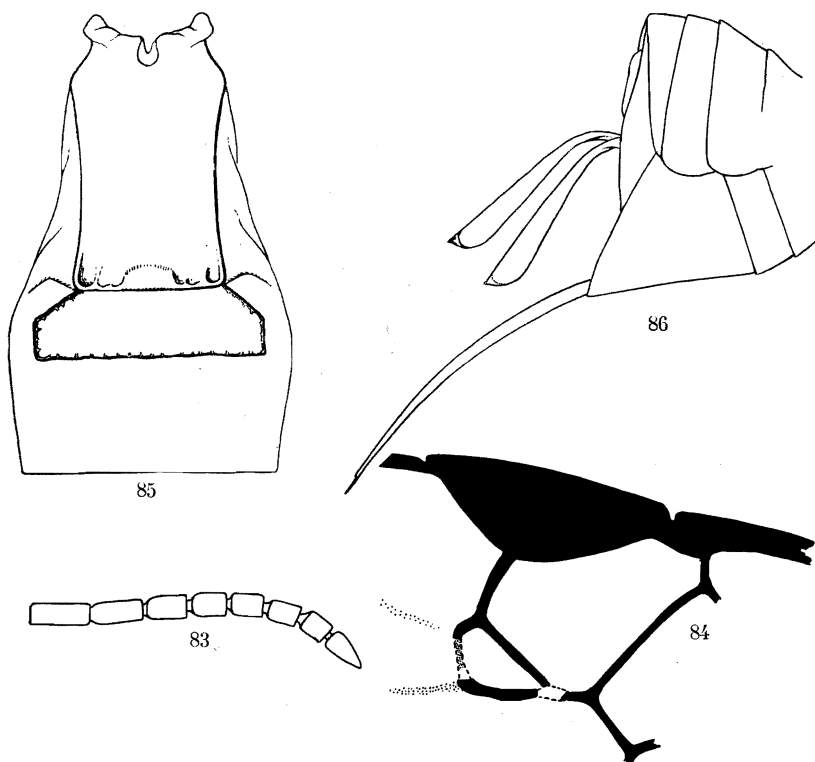


FIG. 83-86. — *Microgaster ruandana* sp. n. ♀.

FIG. 83. — Sommet de l'antenne. FIG. 84. — Détail de la nervation des ailes antérieures.

FIG. 85. — Détail des trois premiers tergites abdominaux.

FIG. 86. — Apex de l'abdomen.

basal, ruguleux dans les 2/3 apicaux avec quelques gros pointillés, légèrement rugueux près de la carène longitudinale médiane qui est plus ou moins rugueuse.

*Ailes* (fig. 84) : nervation assez semblable à celle de *M. atropa*, mais la 2<sup>e</sup> abcisse de la radiale plus courte, ainsi que la partie apicale de la 1<sup>re</sup> abcisse de la cubitale; stigma plus court que le métacarpe.

*Pattes III* : hanches petitement et peu densément ponctuées, presque lisses sur la face externe; fémurs également à petite ponctuation; articles des tarsi des pattes I et II courts, articles apical de tous les tarsi forts. Proportions : hanches, 18/28; fémurs, 10/38; tibiai 8/48; tarsi : I, 20; II, 9; III, 7; IV, 6; V, 8; le plus long éperon des tibiai la moitié et le plus court le tiers de la longueur des métatarses; le plus long éperon des tibiai II presque aussi long que les métatarses correspondants.

*Abdomen* (fig. 85) : tergite I rugueux, légèrement mat, ses bords latéraux divergents à l'extrême base, sont ensuite à peu près parallèles jusqu'à l'apex, celui-ci est droit, à angles arrondis et porte au milieu un petit tubercule lisse et brillant de chaque côté duquel se trouve une dépression arrondie, ce tergite est faiblement replié au milieu, excavé légèrement près de la base et proéminent ensuite jusque près de l'apex, les bords latéraux souvent déprimés; sa longueur médiane 1,57 fois plus longue que sa largeur apicale et 2,2 fois son extrême base (22 : 14 : 10); tergite II rugueux, plus finement que le I, à partie sculptée déprimée, à peine plus convexe au milieu, et portant quelques pointillés sétigères vers l'apex, sa longueur médiane la moitié de la largeur apicale du I et le tiers de sa propre largeur apicale (6 : 12 : 18); 2<sup>e</sup> suture bien marquée par la sculpture déprimée du tergite II; longueur médiane du tergite III, 1,66 fois celle du II (10 : 6), lisse et brillant comme les suivants et portant l'habituelle petite ponctuation; hypopygium aigu, non membraneux; valves de la tarière de longueur égale à celle des deux articles basilaires des tarsi III, sans appendice (fig. 86). Chez le ♂; les proportions sont plus petites (20 : 14 : 10) pour le tergite I, (5 : 10 : 16) et (10 : 5) pour les suivants, la partie sculptée du II également plus étroite.

Longueur : 2,5 mm.

DISTRIBUTION GÉOGRAPHIQUE : Kundhuru ya Tshuve, col Gahinga-Sabinyo, Ruanda, forêt de Bambous (alt. 2.600 m., 15.IX.1934), holotype ♀, allotype ♂ et paratypes; Kundhuru ya Tshuve, Rutabagwe, Ruanda (alt. 2.600 m., 14.IX.1934); Nyabirehe, volcan Karisimbi, Ruanda (alt. 2.000 m., 22.II.1935); 18 exemplaires : 11 ♂♂, 7 ♀♀.

A ces spécimens vient s'ajouter un exemplaire ♂ originaire de Shamuheru, volcan Nyamuragira (alt. 1.843 m., 15.VI.1935), très semblable aux spécimens de cette espèce du même sexe, mais en diffère cependant par les palpes rouge testacé, le disque du scutellum plus fortement ponctué, la 2<sup>e</sup> abcisse de la radiale dans le même alignement que la 2<sup>e</sup> transverso-cubitale et une rugosité moins grossière des tergites I et II; 18+1 exemplaires.

AFFINITÉS : *M. ruandana* se place dans la clef de WILKINSON en même temps que l'espèce sud-africaine *M. eurygaster* (CAM.), connue par un unique spécimen ♂, dont elle diffère surtout par la coloration des palpes, une plus forte ponctuation du mésonotum et la rugosité des tergites I et II. Cette

espèce ne s'introduit pas dans la clef de FAHRINGER. Elle présente incontestablement des affinités avec *M. sylleptae* DE S., dont elle se distingue principalement par la forme et la sculpture des tergites I et II.

### Sous-groupe spécifique BICOLOR.

Antennes de la ♀ courtes et fortes; 2<sup>e</sup> tergite abdominal pourvu d'une aire médiane délimitée par des sillons; fémurs des pattes postérieures, courts et larges; valves de la tarière très courtes.

Dans l'esprit du classement préconisé ici, il est évident que la seule conformation des antennes de la ♀ justifie un groupement distinct. Deux espèces éthiopiennes, présentant ce caractère, ont été décrites jusqu'ici; l'une d'entre elles ne m'est pas connue. Les éléments font donc encore défaut pour établir, plus en détail, les caractéristiques de ce sous-groupe.

#### [*Microgaster bicolor* SZÉPLIGETI.]

*Microgaster bicolor* SZÉPLIGETI, Wiss. Ergebn. Deutz. Z. Afr. Exp., III, 1911, p. 413, ♀; WILKINSON, Trans. Ent. Soc. Lond., LXXVII, 1929, p. 110.

DISTRIBUTION GÉOGRAPHIQUE : Kibwezi, lac Tanganyika (Tanganyika Terr.).  
Hôte et cocon, inconnus.

#### 36. — *Microgaster austrina* WILKINSON.

(Fig. 87-89.)

*Microgaster austrina* WILKINSON, Trans. Ent. Soc. Lond., LXXVII, 1929, p. 119, ♀; WILKINSON, Bull. Ent. Res., XXI, 1930, p. 282, ♂ ♀; DE SAEGER, Rev. Zool. Bot. Afr., XXXV, 1942, p. 340.

DISTRIBUTION GÉOGRAPHIQUE : Rutshuru, Lubirizi (alt. 1.285 m.; 13.VII.1935); Rutshuru, riv. Fuku (alt. 1.250 m., 5.VII.1935); Ruhengeri, riv. Penge, Ruanda (alt. 1.800-1.825 m., 4-5.X.1934); Burunga, Mokoto (alt. 2.000 m., 15-16.III.1934); lac Mugunga (alt. 1.500 m., 1-3.VI.1934); Rutshuru (alt. 1.285 m., 2.VII.1935); Bulengo, Mugunga (alt. 1.500 m., 31.I.1934); 9 exemplaires : 1 ♂, 8 ♀ ♀.

Ces spécimens correspondent exactement à la description de WILKINSON. Ils présentent à peine de légères différences de coloration : hanches III rouge testacé à peine dans le 1/3 apical et tibias III faiblement rougeâtres à la base.

Parmi ces exemplaires figure 1 ♂ qui, à part le caractère des antennes longues (fig. 87-89), signalé par WILKINSON en 1930, a la coloration des pattes légèrement plus claire que chez la ♀ et les tibias postérieurs assombrés seulement à l'apex. Ces exemplaires sont également un peu plus grands : 2,5 mm.

BIOGÉOGRAPHIE : Cette espèce paraît répandue dans toute la région éthiopienne. Décrite d'après des spécimens originaires de l'Afrique du Sud, où

ils furent obtenus de larves trouvées dans de la balle de Maïs, elle fut ensuite signalée de l'Uganda. J'ai renseigné sa présence au Congo Belge, où son hôte est jusque maintenant encore inconnu, et j'ai eu l'occasion de la déterminer parmi une petite collection de Braconides récoltés par l'ento-

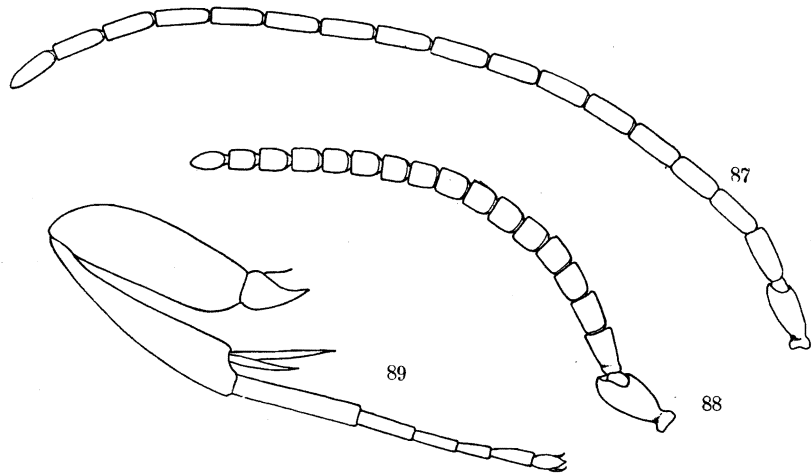


FIG. 87-89. — *Microgaster austrina* WILKINSON.

FIG. 87. — Antenne du ♂. FIG. 88. — Antenne de la ♀.

FIG. 89. — Patte postérieure de la ♀.

mologiste RISBEC, au Sénégal. Dans cette dernière localité, *M. austrina* parasitait la Pyrauste du Mil *Marasmia grisealis* GHESQ., et était épiparasité par l'Ichneumonide *Mesochorus nigellus* WILKN.

L'hôte dont ce *Microgaster* a été obtenu au Sénégal est très voisin de l'espèce pantropicale *Marasmia trapezalis* (GN.) répandue du Soudan à l'Afrique du Sud, et vu la très grande affinité de ces deux espèces il pourrait être également son parasite. Dans ce cas, il semblerait que ce Braconide est inféodé aux Pyrales des Graminées. Il y aurait d'intéressantes observations biologiques à faire à son sujet en le rapprochant de l'*Apanteles sesamiae* CAM., avec lequel il présente bien des analogies morphologiques et qui semble également inféodé à certains ravageurs des Graminées.

#### Sous-groupe spécifique LEPPELEYI.

Ce sous-groupe se caractérise essentiellement par la présence d'une aire médiane sur le 2<sup>e</sup> tergite abdominal. Premier tergite sans de fortes proportions entre les largeurs de la base et de l'apex, marqué d'un sillon longitudinal médian qui ne s'étend pas dans la moitié apicale; valves de la tarière toujours courtes. Par ailleurs, les autres caractères sont assez enchevêtrés, les bases de ce sous-groupe ne sont donc pas encore bien établies.

[*Microgaster leppeleyi* WILKINSON.]

*Microgaster leppeleyi* WILKINSON, Stylops, III, fasc. 5, 1934, p. 118, ♂ ♀.

DISTRIBUTION GÉOGRAPHIQUE : Kiambu (Kenya).

*Hôte* : une des séries ayant servi à la description originale a été élevée du Noctuide *Epigynopterix ansorgei* WARR., une seconde est renseignée *Epigynopterix* sp., *ansorgei* WARR., ou *tabitha* WARR.

*Cocons* : grands, bruns, la base est aplatie, ovale, de 4,5 mm. de long sur 2 mm. de large. Ces cocons sont irrégulièrement formés et sinon les soies libres abondantes, particulièrement à l'extrême sommet, ils ressemblent beaucoup à un grand Coccide.

37. — *Microgaster megaulax* sp. n.

(Fig. 90-92.)

♀ : noire; parties buccales (sauf les mandibules), pattes I et II (excepté les tarsi), partie inférieure et apex des hanches, trochanters, moitié basale des trochantelles (parfois) et un peu plus de la moitié basale des fémurs (assez sombre) des pattes III, bords latéraux membraneux des tergites I, II et III, parties latérales du III partiellement et sternites de la base, rouge testacé; mandibules, scapes (excepté sur la face externe), tarsi I et confusément la base des tibia III, rouge testacé foncé; apex des trochantelles (parfois) brun rougeâtre; palpes et épérons des tibia, jaune-rouge testacé; nervation et stigma bruns, médiane et anale un peu plus claires à la base; ailes hyalines, légèrement mais distinctement enfumées dans les parties suivantes : aux ailes I, une tache près du nervulus et le long de la 2<sup>e</sup> abscisse de la médiane, englobant la 1<sup>re</sup> cellule brachiale et la moitié distale de la cellule anale, une bande transversale sous le stigma, englobant la 2<sup>e</sup> cellule cubitale, ne touchant pas la récurrente et atteignant le bord postérieur de l'aile, une enfumure distale comprenant entièrement la 3<sup>e</sup> cellule cubitale, le tiers de la cellule radiale et l'angle antérieur de la 2<sup>e</sup> cellule discoïdale.

♂ : semblable à la ♀ excepté : scapes noirs ou légèrement rougeâtres entièrement; trochantelles et 2/3 basales des fémurs III, rouge testacé (1 ♂ présente une bande rougeâtre à l'apex des tergites III et IV).

♂ ♀. *Tête* : face brillante, fortement ponctuée (degré 4) un peu superficiellement, divisée par une ligne longitudinale médiane lisse et un peu proéminente; clypéus bien différencié de la face; ostioles faciales grandes, un peu plus près de l'apex du clypéus que des yeux; vertex et occiput lisses et brillants; tempes densément ponctuées à la base; espace oculo-ocellaire à peine plus long que la distance séparant les ocelles postérieurs (8 : 7); 1<sup>er</sup> article du flagellum près de 4,5 fois plus long que large (20 : 4,5) dans les deux sexes, article apical 3,5 fois chez le ♂ (articles apicaux absents chez l'unique exemplaire ♀).